

# EL PALEOLÍTICO SUPERIOR Y EPIPALEOLÍTICO EN GALICIA

## *The Upper Paleolithic and Epipaleolithic in Galicia*

Rosa VILLAR QUINTEIRO

*Dpto. de Historia I. Fac. de Geografía e Historia. Univ. de Santiago de Compostela*

Fecha de aceptación de la versión definitiva: 27-10-97

BIBLID [0514-7336 (1997) 50; 71-106]

**RESUMEN:** Se plantea la secuencia cultural documentada en Galicia acerca del Paleolítico Superior y Epipaleolítico, a partir de las informaciones obtenidas sobre suelos, paleoambiente, industrias, materias primas, etc. Una vez obtenida la secuencia organizada de los yacimientos aquí estudiados, se buscará la contextualización en una zona geográfica más amplia.

**Palabras clave:** Yacimiento al aire libre, correlación crono-edáfica, polen, industrias, materias primas, secuencia cultural, Galicia, Paleolítico superior, Epipaleolítico.

**ABSTRACT:** The Upper Paleolithic and Epipaleolithic cultural sequence in Galicia is established from the information of different open-sites about soils, industries, raw materials, etc. Once the organized sequence is obtained, a relationship in a wider geographical area is tried to find.

**Keywords:** Open-site, crono-pedological correlation, pollen, industries, raw materials, cultural sequence, Galicia, Upper Paleolithic, Epipaleolithic.

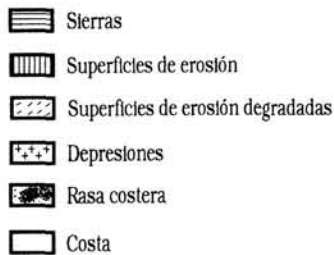
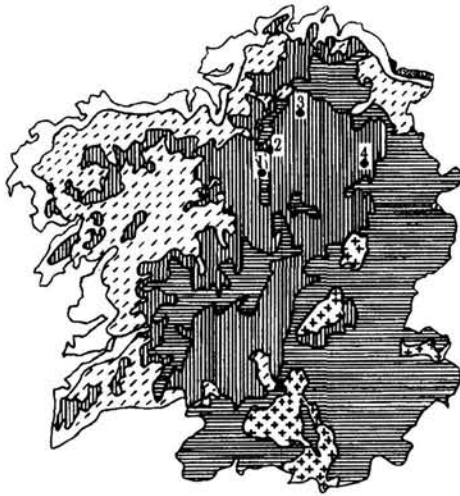
### 1. Presentación

En el presente estudiamos los yacimientos conocidos hasta el momento en Galicia relacionados con el Paleolítico superior y Epipaleolítico. Constituyen un conjunto de siete yacimientos que han sido excavados y estudiados en profundidad, además de una serie de abrigos que han sido sondeados y de los que se dispone de información aún parcial. Al no permitírse nos realizar la correspondiente parte gráfica de algunos de los materiales de yacimientos de Villalba depositados en el Museo Arqueológico de dicho pueblo, no podemos ofrecer en todos los casos dibujos de las industrias que habíamos estudiado con anterioridad, motivo por el que hemos intentado solventar esta cuestión acudiendo a las escasas referencias publicadas.

Excepto la cueva de A Valiña (Castroverde), en todos los demás casos se trata de yacimientos

al aire libre o que cuentan con la protección de un pequeño afloramiento rocoso -batolitos graníticos o cuarcíticos-, lo que ha motivado que en la bibliografía gallega se les denomine como *abrigos*. Geográficamente se localizan en su práctica totalidad en la provincia de Lugo, concentrándose en particular en la mitad Norte, en una unidad geomorfológica bien definida como la Meseta de Lugo o *Terra Chá*, que se presenta como una extensa depresión con una altitud media de 470 m.

Además, debemos situar a la cueva de A Valiña próxima a las estribaciones de las Sierras Orientales, mientras que el abrigo de Pena do Pé se localiza en las Sierras Occidentales; ambos sistemas enmarcan a la *Terra Chá* por el Este y el Oeste, respectivamente (mapa 1). Por último, al Norte de ésta se encuentran las Sierras Septentrionales, con la Sierra del Xistral, donde encontramos algunos de los yacimientos estudia-



En el Mapa 1 se muestran las principales unidades geomorfológicas y se señalan los municipios en los que se concentran los yacimientos:

1. Sierra del Bocelo, Melide (A Coruña).
2. Guitiriz (Lugo).
3. Villalba (Lugo).
4. Castroverde (Lugo).

La Sierra del Xistral se encuentra al Norte de Villalba.

El sustrato geológico del área está fundamentalmente constituido por granitos y cuarcitas, produciendo en el paisaje los característicos afloramientos en forma de grandes bolos que constituyen los abrigos. En el municipio de Castroverde la situación varía, encontrándonos en una zona de intersección entre pizarras y calizas de Cándana.

dos. Estas sierras constituyen la parte más occidental de los Montes Galaico-Asturianos y es un sistema que delimita netamente los territorios costeros de la Galicia cantábrica y las planicies de la Terra Chá. Su núcleo central registra altitudes apenas superiores a los 1.000 m.: Chan do Lamoso (1.039 m), Xistral (1036 m), Seixo Blanco (1.057 m), Cadramón (1.060 m).

## 2. Los yacimientos y sus industrias

### 2.1. La Cueva de la Valiña (Castroverde, Lugo)

Esta cavidad se localiza en el Monte da Croa, parroquia de Bolaño, en el límite Sur de la Meseta de Lugo, a 620 m.s.n.m. Corresponde a las coordenadas 43° 02' 46" latitud Norte y 3° 39' 10" longitud Oeste (Hoja 73 del Mapa Topográfico Nacional del Instituto Geográfico y Catastral).

Excavada en 1987 y 1988 (Llana Rodríguez, Soto Barreiro 1991) la primera noticia sobre la posible existencia de un yacimiento en esta cavidad se debe a Vázquez Seijas (1965), director del Museo Arqueológico Provincial de Lugo en aquel momento, con la publicación de restos de fauna

y material óseo trabajado recogido tras varias voladuras con dinamita realizadas para aprovechar la caliza en el campo, durante los años 60. Estos materiales se encuentran depositados actualmente en el mencionado museo.

Posteriormente, el terreno de las inmediaciones de la cavidad fue rellenado, lo que supuso una dura tarea previa de acondicionamiento de un lugar mínimo para trabajar, al tener que extraer un relleno de 3 m. de altura en un franja de 15,5 m. Una vez realizado esto, se pudo hacer una valoración de los daños causados en la cavidad.

Realmente ésta había resultado seriamente afectada, conservándose parte de un pasillo-galería estrecho -8,5m. de largo por 1,5m. de altura máxima y 2m. de ancho-, que al fondo se cierra en un gatera que dá paso a una cámara de 5m. de largo (fig. 1).

En dirección opuesta, de este pasillo-galería tan sólo continúa una pared, encontrándose en el extremo opuesto lo que en algún momento fue una abertura al exterior que se colmató, conservando un testigo inalterado de la dinámica sedimentaria.

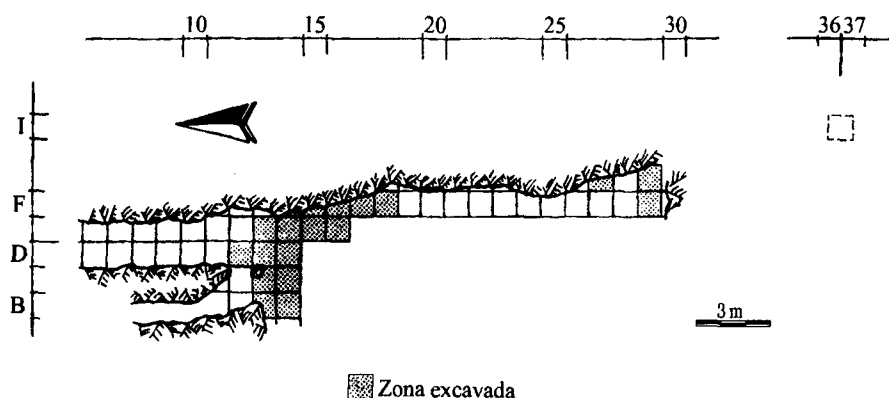


FIG. 1. *Planta general y planimetría de La Valiña.*

Por tanto, cuando en 1987 se realizó la primera intervención arqueológica, nos encontramos con tres zonas bien diferenciadas:

1. Hasta la fila de cuadros número 13 y coincidiendo con el pasillo-galería hasta su actual boca, constituye una zona conservada sin alteraciones post-deposicionales.
2. Desde la fila de cuadros 13 hasta la 29 corresponde a la zona más afectada por el expolio donde incluso se desconoce la planta de la cavidad, conservándose únicamente un tramo de pared.
3. Representada en los cuadros 30 y corresponde a la abertura colmatada, también denominada «extremo Sur».

Esta situación nos llevó a centrarnos en dos objetivos fundamentales (Llana Rodríguez, Soto Barreiro 1991):

- Determinación de la zona con yacimiento conservado para evaluar los efectos del expolio, además del propio depósito arqueológico.
- Intentar reconstruir la morfología de la cavidad.

A un nivel más concreto, se trataba de establecer la estratigrafía en el interior del pasillo-galería, así como su relación con la zona central y el «extremo Sur». Tomando como referencia el cuadro de sondeo y previo establecimiento de la cuadrícula del área acondicionada, se procedió a bajar hasta el suelo natural para posteriormente, hacer el seguimiento en la horizontal, del único nivel ocupacional documentado.

Se pudo comprobar que el expolio afectó a todo el paquete comprendido entre las líneas de cuadros 21 a 29, ambas inclusive; así como a las filas F y G, en la mayor parte de la zona central. Como zona inalterada y con nivel arqueológico conservado nos queda la línea de cuadros F -del 14 al 18- que corresponden al testigo pegado a la pared conservada; en la línea de cuadros E -números 12 al 15-, línea de cuadros D -números 12 al 14-, línea C -números 13 y 14- y en la línea B -números 13 y 14.

#### 2.1.1. Estratigrafía:

El depósito conservado aproximadamente representa catorce cuadros situados a la entrada del pasillo-galería y en el testigo de la pared contigua. En el «extremo Sur» la colmatación de 30G se mostró inalterada, aunque sin ocupación, pasando a constituir la secuencia de referencia correlacionada con la del cuadro 12D, a la entrada de la galería, en el extremo opuesto (fig. 2).

Se señalan las grandes semejanzas existentes entre ambas secuencias, encontrándose únicamente diferencias a techo, tal vez debidas a los impactos del expolio sufrido, así como la ausencia en 30G de la costra caliza -N. VII en 12D/12E- y el nivel de gravas -N. VIII en 12D/12E-, posiblemente causado por las diferencias microtopográficas de la cueva. Por ello es posible hacer una interpretación genética conjunta para la formación del depósito (Llana Rodríguez, Villar Quinteiro, Martínez Cortizas 1996):

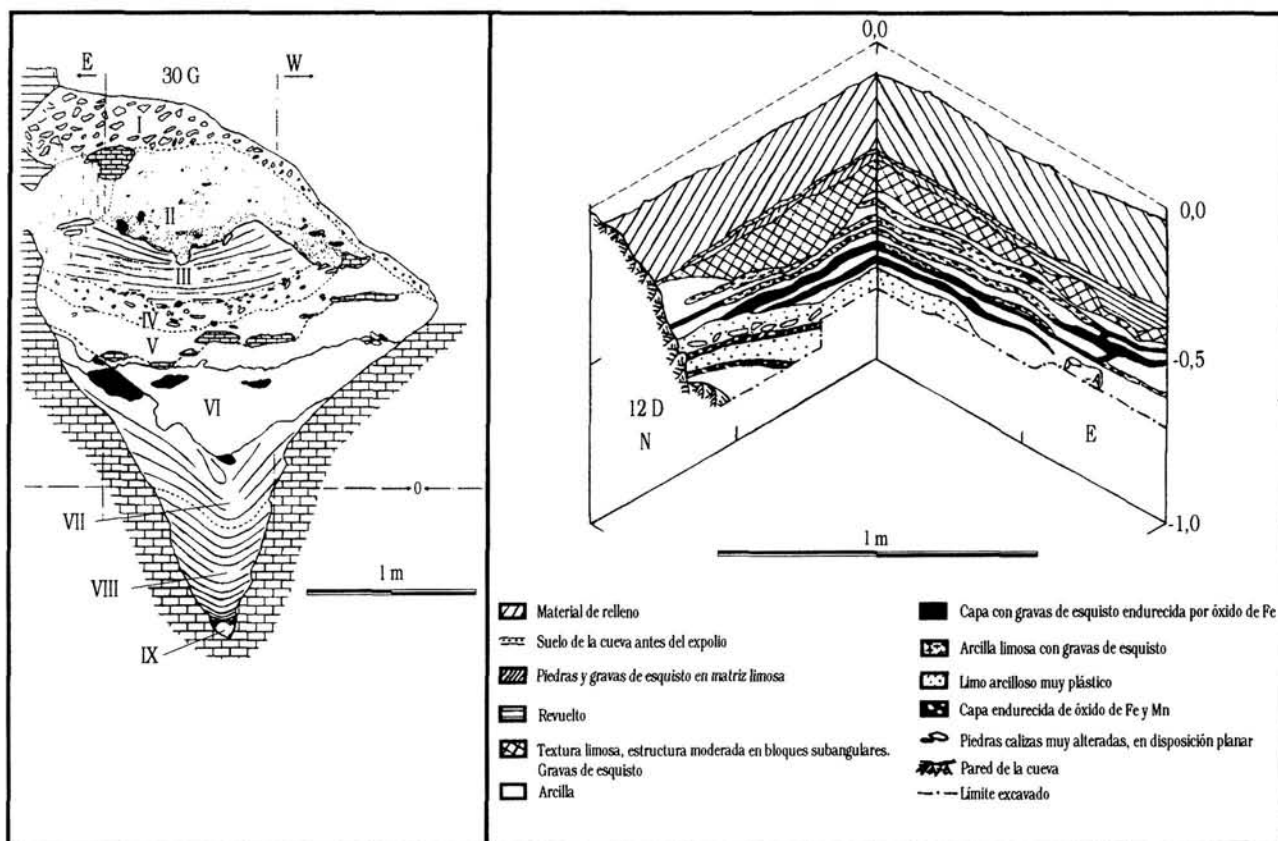


FIG. 2. Secuencia estratigráfica en el cuadro 30G o «extremo Sur» (izquierda) y en los cuadros 12D/12E a la entrada de la galería (derecha).

30G	12D/12E	
I-II	I	Resultantes del expolio.
III	II	Arcillo-limoso bandeado. Formado en condiciones húmedas con encharcamiento temporal. Estéril.
IV	III	Contiene fragmentos de costra caliza y clastos calizos fuertemente alterados.
V	IV(*)	Marrón rojizo, franco a arcillo-limoso, límite erosivo con el nivel superior. Señala condiciones templadas y húmedas. Con abundantes evidencias de fauna y polen. Fértil.
VI	V	Pardo rojizo, arcilloso-limoso, con segregación de óxidos en 30G e iluviación de arcilla en 12D; límite superior formado por una línea de piedras calizas planas. Condiciones templadas y húmedas interrumpidas por un episodio riguroso con cierto componente de humedad que originó la crioclastia de la caliza, sin descartarse procesos de geliflución, por la disposición de los clastos. Con restos de fauna.
VII	VI	Costra caliza en 30G. Nivel amarillento con abundante material grueso y gravas de esquistos muy alteradas, procedente de aporte exterior en 12D. El nivel esquistoso se formó en un momento frío y húmedo (presencia de <i>Microtus nivalis</i> , según com. pers. de C. Fernández). La formación del nivel sería el resultado de varias fases de acumulación, según la presencia de estructuras arcillosas y niveles intermedios de gravas. Con restos de fauna.
—	VII	Costra caliza.
—	VIII	Azul grisáceo, formado por pequeñas gravas planas de pizarra y caliza, bordes redondeados; suelto, sin matriz fina. Momento frío. Estéril.
VIII	IX	Pardo amarillento, arcilloso, formado por ritmitas horizontales, escaso material grueso. Límite abrupto con el nivel superior. Formado en condiciones de abundante agua y temperatura cálida, condiciones que favorecen la meteorización de la caliza. Además se supone un ambiente casi cerrado o de escasa conexión con el exterior: los materiales son autóctonos y no contiene polen. Estéril.
IX	X	Gris azulado, de gravas planas de pizarra y caliza, redondeadas, sin matriz fina. Algo cementado por recristalización de carbonato cálcico. Estéril.

## 2.1.2. Industria lítica

El modesto conjunto lítico recuperado -130 efectivos- está básicamente realizado sobre tres tipos de materias primas: cuarzos (62%), esquisto (20%), caliza (15%) y sílex (3%). Tecnológicamente estos productos se distribuyen de la siguiente forma: lascas (L) 61%, Láminas (H) 16%, fragmentos naturales 13%, núcleos 7%, débris e indeterminados 3%. Se observa pues el claro predominio de la lasca junto a un moderado ILám. total (16%).

Tipométricamente el conjunto se caracteriza por el tamaño pequeño y normal de las piezas, superando excepcionalmente los 5 cm. de longitud. Debido al reducido número de efectivos disponible no hemos realizado el análisis de B. Bagolini (1968), pero podemos completar esta información calculando el índice de carenado -Ic- de Laplace (1974), obteniéndose que el 70% de estos soportes se definen como no espesos.

En relación a la morfología de estos productos, se observa que junto a las lascas de secciones irregulares aparecen otras con marcada tendencia a las secciones triangulares. Estas lascas laminares presentan una o varias aristas y suelen corresponder a productos limpios de corteza externa, lo que les confiere un carácter más elaborado, claramente relacionado con la técnica laminar. A continuación ofrecemos el listado de los 52 tipos identificados según la metodología de D. de Sonneville-Bordes y J. Perrot (1954, 1955, 1956a y 1956b):

Tipo	Nº	%	%Ac.
1 Raspador simple	1	1,9	1,9
5 Raspador sobre lasca retocada	1	1,9	3,8
8 Raspador sobre lasca	1	1,9	5,7
11 Raspador carenado	1	1,9	7,6
12 Raspador carenado atípico	1	1,9	9,5
21 Perforador-raspador	1	1,9	11,4
23 Perforador	3	5,7	17,1
24 Bec	5	9,6	26,7
25 Perforador múltiple	1	1,9	28,6
27 Buril diedro recto	1	1,9	30,5
30 Buril de ángulo sobre fractura	1	1,9	32,4
32 Buril busqué	1	1,9	34,3
35 Buril sobre truncadura oblicua	2	3,8	38,1
38 Buril transversal sobre retoque lateral	2	3,8	41,9
41 Buril múltiple	1	1,9	43,8
45 Cuchillo de dorso	4	7,6	51,4
46 Punta de dorso (fragmento)	1	1,9	53,3
58 Pieza con dorso	4	7,6	60,9
61 Pieza con truncadura oblicua	2	3,8	64,7
63 Pieza con truncadura convexa	1	1,9	66,6
75 Denticulado	8	15,3	81,9
77 Raedera	4	7,6	89,5
92 Diversos	5	9,6	99,1
TOTAL	52		

IG: 9,6%	IGA: 4%	IGAr: 40%	GA: 5,7%
IB: 13%	IBd: 4%	IBdr: 25%	GP: 23%
IP: 15%	IBt: 4%	IBtr: 25%	

Cualitativamente los raspadores se definen por ser muy atípicos y de mala calidad técnica. Contrariamente el grupo de los buriles está mucho mejor representado, destacándose la discreta extensión de sus facetas.



FIG. 3. *Industria de la Valiña: Denticulados.*

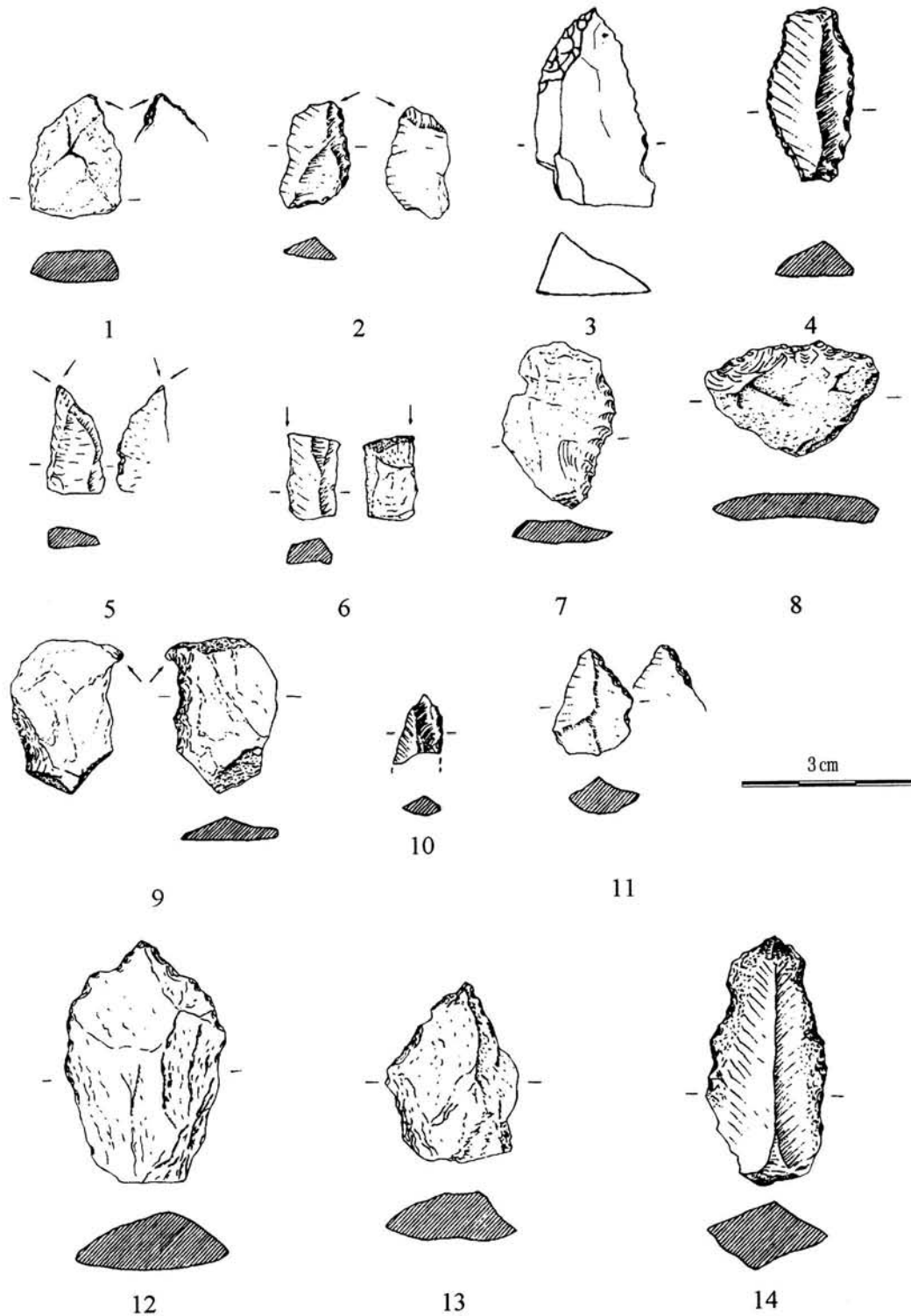


FIG. 4. *Industria de la Valiña*. Buriles (1, 2, 5, 6, 9), Cuchillo de dorso (3), pieza con doble dorso (4), raderas (7, 8, 11), Punta de Chatelperron -fragmento distal (10), perforadores y bec (12-14).

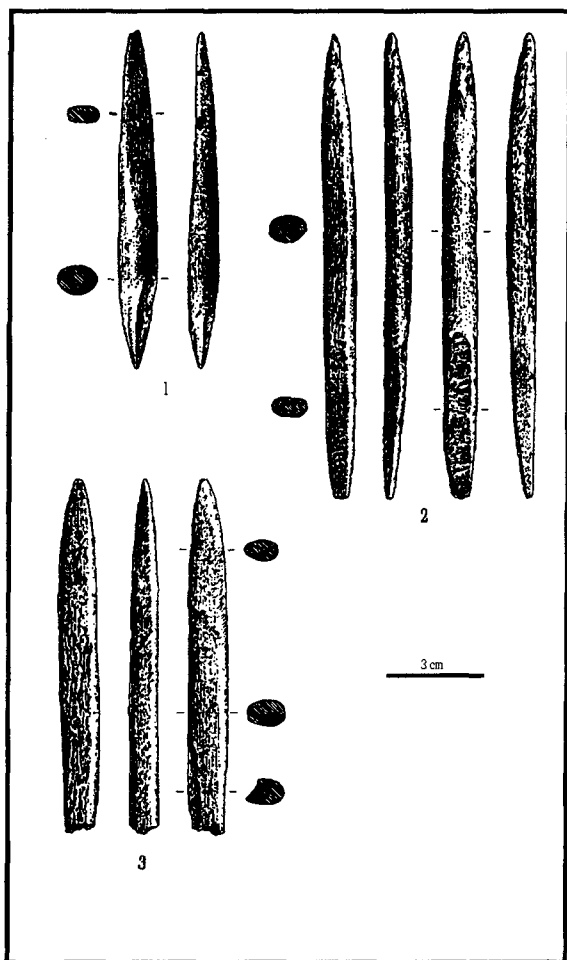


FIG. 5. Azagayas de la Valiña.

Las piezas clasificadas como cuchillos de dorso corresponden a lascas con un frente semi-circular de retoque abrupto, que consideramos oportuno relacionarlos con los tipos de niveles iniciales del Paleolítico superior. El fragmento identificado como punta de Chatelperron corresponde al extremo distal de una lámina apuntada, con un fino dorso abrupto.

El grupo de denticulados se presenta como el más numeroso no solamente del sustrato, sino del conjunto total. Además hay un pequeño grupo de raederas bien caracterizado, entre las que destaca una pequeña raederita convergente que consideramos relacionada con las descritas por Leroi-Gourhan (1968) como *pequeñas raederas chatelperronienses*. Finalmente, a nivel de la composición industrial del conjunto, señalar el

importante peso del sustrato (22,9%), un ligero predominio de buriles sobre raspadores y el fuerte peso del GP (23%) frente al GA (5,7%), lo que concuerda con la importancia del retoque abrupto -en piezas como truncaduras, dorsos, denticulados, etc.-, frente a la rareza del retoque simple.

### 2.1.3. Industria ósea.

Las azagayas de La Valiña, depositadas actualmente en el Museo Arqueológico Provincial de Lugo, son tres ejemplares, de los que a continuación ofrecemos sus características, según la metodología de S. Corchón (1986):

1. Azagaya de hueso corta, sección circular aplastada, acentuada en parte distal. Tosco apuntamiento en zona proximal, apreciándose estriaciones verticales en el fuste.

Dimensiones: 103x11x9mm.

Sin decoración.

2. Azagaya larga de hueso, perfil recto, sección ligeramente aplastada. Bisel simple largo en zona proximal que representa 1/3 de la longitud de la pieza.

Dimensiones: 142x11x8mm.

Decoración: rayado técnico horizontal con cierto estriamiento de la zona proximal, más profundo sobre el bisel.

3. Azagaya larga de hueso, perfil recto, fracturada en zona proximal. Sección aplastada, presenta una zona erosionada.

Dimensiones: 109x11x8mm.

Sin decoración.

La falta de contextualización de estas piezas sólo permite concluir la existencia de una secuencia con más de un nivel fértil en La Valiña, pues a la vista de las características de estas piezas queda descartada su pertenencia a un nivel de industria antigua, como la aportada por el nivel IV. Se sugiere una ocupación posterior suprayacente a ésta pero que debido a las circunstancias del yacimiento, no se ha conservado hasta el momento actual.

## 2.2. El yacimiento de Dos Niñas (Villalba, Lugo)

Se trata de un abrigo rocoso localizado en la parroquia de Santaballa, municipio de Villalba, en el lugar de O Carrizo -nombre con el que en ocasiones se denominó-, correspondiendo con las coordenadas 43º 20' 50" latitud Norte y 4º 03' 20" longitud Oeste. Se ubica en una cima a 491m. de altitud y se calcula una superficie de ocupación de 11m<sup>2</sup>.

Descubierto en 1971, es motivo de una intervención arqueológica de la que únicamente se publican escasas referencias (Alonso del Real, Vázquez Varela 1976).

### 2.2.1. Estratigrafía

Si bien este yacimiento se encuentra actualmente destruido, la revisión estratigráfica realizada en los 90, además de las observaciones recogidas en su momento por D. José Ramil (Llana Rodríguez 1990) han permitido constatar la existencia de una única ocupación contenida en un suelo policíclico -con dos ciclos de formación- sobre un sustrato cuarcítico. Sus características físicas son:

- Horizonte I: 0-20cm. de potencia. Capa de remoción descrita inicialmente como dos horizontes diferentes por su cambio en la coloración hacia la base. Estéril.
- Horizonte 1A: 20-40cm. Horizonte mineral rico en materia orgánica, color negro, con gravas y piedras de cuarcita algo desgastadas. Estéril.
- Horizonte 2A: 40-47cm. Horizonte mineral rico en materia orgánica. Límite superior erosivo. Fértil.
- Horizonte 2B: 47-57cm. Color ocre, horizonte mineral con menos materia orgánica que los anteriores; escasos fragmentos de cuarcita meteorizados. Estéril.
- Roca base: cuarcita.

### 2.2.2. Industria lítica

Sin incluir los restos indeterminados, el conjunto lítico se compone de un nutrido conjunto de restos de talla -RDT- que representa el 88%

del mismo, completándose con piezas retocadas -PR- en un porcentaje del 8% y algunos restos de núcleos (4%). En el siguiente cuadro recogemos las principales características tecno y tipológicas de éste:

YACIMIENTO	DOS NIÑAS		
Nº Efectivos	1.336		
Materias primas	S (93%), C (3%), Cr. Qz, Pc (1%, respectivamente)		
Composición Tecnológica	RDT (88%), Predominio de L (67%) IIam. total 32%, donde H (18%), h (14%).		
Características tipológicas	Total 115 PR (8%) IIam. total (22%), donde h (7%)		
	IG: 22%	IBd: 16%	GA: 7%
	IB: 21%	IBt: 3%	GP: 13%
	IP: 7%	IGA: 7%	

El Sustrato (18,6%) incluye escotaduras, denticulados, escasas raederas y raclettes.

El Uh es escaso, con 5 laminillas de dorso, una denticulada y una micrograve.

Secuencia estructural: **G B sustr./<sup>2</sup> Pret/ P Uh Tr D C**

Se destaca el empleo masivo de sílex, que en este caso representa una materia prima local, fácilmente disponible y abundante, aunque de pésima calidad por la abundante presencia de impurezas y geodas, además de una importante alteración externa, lo que obliga a un alto consumo de ésta. El índice laminar es importante y está aportado fundamentalmente por el producto de grandes dimensiones -H-; es decir, no microlítico, lo que es coherente con la escasa representación del utillaje microlaminar. Finalmente, señalar el mayor peso del GP frente al GA.

En cuanto a las características tipométricas del conjunto de restos de talla -RDT- la gráfica de B. Bagolini (1968) señala una amplia dispersión de esta producción que aparece bien repartida desde el tamaño micro hasta grande. Abundan las lascas, que muestran una tendencia importante a las lascas-laminares y al producto laminar estricto (fig. 6).

El estudio tipológico ha permitido identificar las siguientes piezas retocadas (PR):

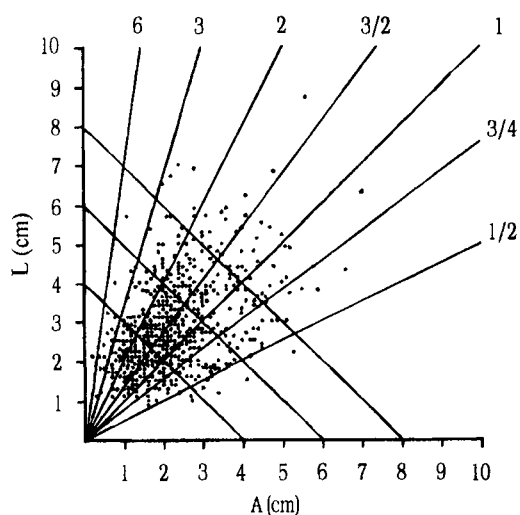


FIG. 6. Gráfica de dispersión de Bagolini.

Tipo	Nº	%	%Ac.
1 Raspador simple	3	2,5	2,5
3 Raspador doble	1	0,8	3,3
5 Raspador sobre lasca retocada	2	1,7	5
8 Raspador sobre lasca	7	5,9	10,9
11 Raspador carenado	1	0,8	11,7
13 Raspador espeso en hocico	4	3,4	15,1
14 Raspador plano en hocico	3	2,5	17,6
15 Raspador nucleiforme	4	3,4	21
16 Rabot	1	0,8	21,8
17 Raspador - buril	2	1,7	23,5
23 Perforador	3	2,5	26
24 Bec	5	4,2	30,2
27 Buril diedro recto	11	9,4	39,6
29 Buril diedro de ángulo	4	3,4	43
30 Buril simple de ángulo	4	3,4	46,4
35 Buril sobre truncadura oblicua	2	1,7	48,1
36 Buril sobre truncadura cóncava	1	0,8	48,9
40 Buril múltiple sobre truncadura	1	0,8	49,7
41 Buril múltiple mixto	1	0,8	50,5
44 Buril plano	1	0,8	51,3
51 Microgravette	1	0,8	52,1
58 Pieza de dorso	4	3,4	55,5
61 Pieza con truncadura oblicua	2	1,7	57,2
62 Pieza con truncadura cóncava	2	1,7	58,9
63 Pieza con truncadura convexa	1	0,8	59,7
65 Pieza con ret. continuos en un borde	14	11,9	71,6
74 Pieza con muescas	9	7,6	79,2
75 Denticulado	6	5,1	84,3
77 Raedera	4	3,4	87,7
78 Raclette	3	2,5	90,2
85 Laminilla de dorso	5	4,2	94,4
88 Laminilla denticulada	1	0,8	95,2
92 Diversos	2	1,7	96,9
Total	115		

Desgraciadamente la no conservación de restos de fauna o industria ósea debido a la alta acidez del suelo, limita nuestro estudio al análisis de la industria lítica, por lo que hemos preferido acudir a la construcción de secuencias estructurales porque nos parece que ofrecen una mejor definición de las estructuras internas de los conjuntos. Como se ha recogido en el cuadro resumen de esta industria, la secuencia estructural obtenida aparece encabezada por G, seguido en importante equilibrio por B y en tercer lugar aparece el sustrato (Sustr.) que se manifiesta como un grupo fuerte. Tras una leve ruptura, las piezas con retoques continuos (P.ret) ocupan un lugar más moderado y se señala la presencia del utillaje microlaminar (Uh) entre los grupos de menor importancia, al final de la secuencia. No hay ningún grupo que domine claramente el conjunto.

### 2.3. El yacimiento de Férvedes II (Xermade, Lugo)

Se encuentra en el municipio de Xermade, al NO de la Terra Chá, en un sector de transición entre la llanura y las estribaciones de la Sierra de la Carba. Sus coordenadas geográficas son: 43° 24' 33" latitud Norte, 7° 44' 30" longitud Oeste.

Situado al pie de un pequeño farallón donde se interrumpe la meseta de Lousada, fue descubierto por D. José Ramil Soneira en 1971. En 1982 realiza una excavación en un área de 7m<sup>2</sup> de la que únicamente se publican escuetas referencias (Ramil Soneira, Vázquez Varela 1976, 1983).

#### 2.3.1. Estratigrafía

Conformado por un afloramiento rocoso de cuarcita, de la morfología del abrigo poco se conoce porque resultó afectado por una cantera. Su depósito muestra una secuencia edáfica con dos ciclos de formación (fig. 7) y un único horizonte ocupacional (Llana Rodríguez 1990):

- Horizonte 1A: 0-10cm. Color negro, horizonte mineral rico en materia orgánica. Estéril.
- Horizonte 1C: 10-30cm. Color grisáceo, compuesto por grava de cuarcita. Estéril.
- Horizonte 2A: 30-45cm. Color negro, rico en materia orgánica. Fértil. En la base apa-

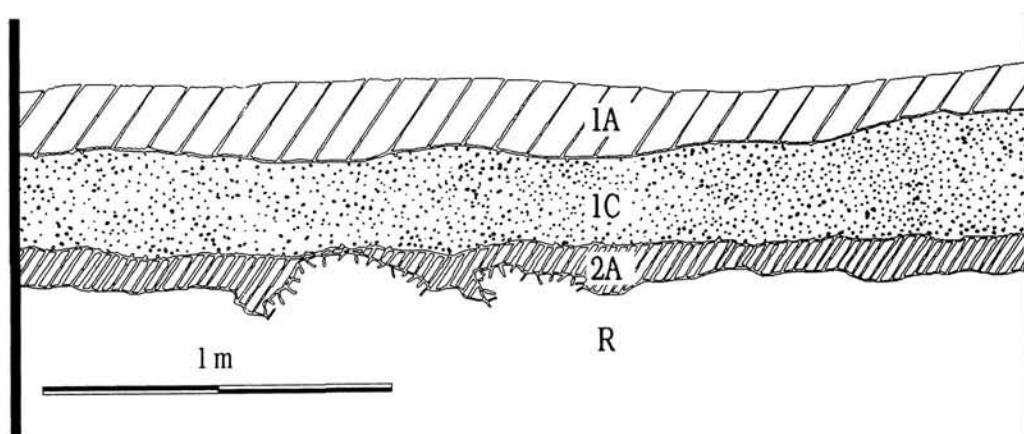


FIG. 7. Estratigrafía de Férvedes II.

recen óxidos de hierro que pueden alcanzar un espesor de 2cm., en contacto con la roca base.

– Roca base: cuarcita.

### 2.3.2. Industria lítica

El conjunto lítico recuperado en este yacimiento se compone de un nutrido número de efectivos, sin incluir núcleos, esquirlas y fragmentos. Las principales características se recogen en el siguiente cuadro resumen, realizándose ahora el análisis tecnológico en conjunto y a nivel de cada materia prima:

YACIMIENTO	FÉRVEDES II		
Nº Efectivos	2.319		
Materias primas	S (58%), C (22%), Pc (9,5%), Cr (7,5%), Qz (3%)		
Composición Tecnológica	Predominio de L (72%) ILam. total 28%, donde H (17%)	S: ILam 28% donde H 17% C: ILam 8%, repartido Pc: ILam 36%, repartido Cr: ILam 25%, principalm. h Qz: ILam 10%, principalm. H	
Características tipológicas	Total 80 PR (3,5%) ILam. total (22,5%), donde H (15%)		
	IG: 25%	IB: 36%	IP: 2,5%
	IGA: 7,5%	IBd: 29%	IBt: 2,5%
	GA: 7,5%	GP: 10%	

El Sustrato (12%) incluye escotaduras, denticulados, raederas y raclettes.

El Uh es escaso, con laminillas de dorso, con escotadura y una microgravette.

Secuencia estructural: **B/² G/² Sustr. P.ret Uh Tr P**

En cuanto a las materias primas, señalar que inicialmente el conjunto fue dividido en dos lotes para su estudio. Nosotros hemos tenido acceso al conjunto depositado en el Museo Arqueológico de Villalba

pero no así al otro. Por las escasas referencias publicadas sobre éste [v.p.e. (Pérez Rodríguez 1990, 1991)], sabemos que consta de un lote de 1.030 efectivos y que en su práctica totalidad son todos de sílex; por lo cual, de haber podido contar con el lote completo, la composición de materias primas se vería sensiblemente inclinada a favor del sílex. También en este caso se trata del mismo tipo de sílex que hemos comentado en Dos Niñas.

El índice laminar descansa fundamentalmente sobre el producto de mayores dimensiones y nuevamente el peso del GP es superior al del GA.

El estudio tipométrico (fig. 8) señala nuevamente una gran dispersión de esta producción en la que todas las categorías dimensionales están bien representadas; cualitativamente, se observa una importante tendencia al producto laminar.

La secuencia estructural de esta industria aparece encabezada por B seguido de G -manteniendo no obstante cierto equilibrio entre si- y en tercer lugar el sustrato, como grupo con cierto peso importante en el conjunto. A partir de aquí, la secuencia es de características muy similares a las ya comentadas para Dos Niñas, principalmente en relación a las posiciones de las piezas con retoques continuos (P.ret) y de la escasa importancia del utillaje microlaminar (Uh).

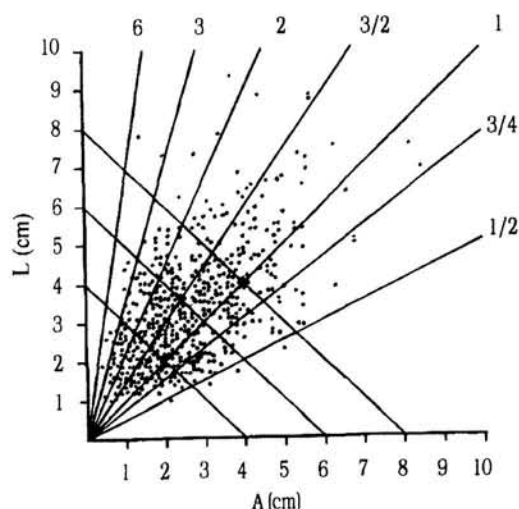


FIG. 8. Gráfica de dispersión de Bagolini.

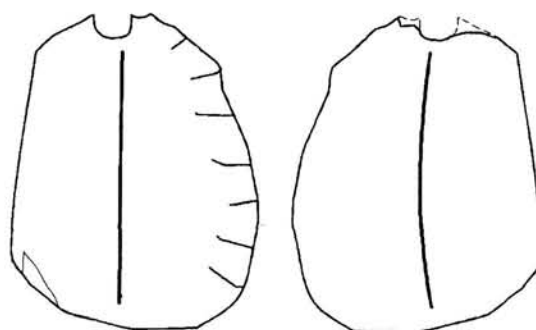
A continuación exponemos el listado de las PR identificadas:

Tipo	Nº	%	%Ac.
1 Raspador simple	9	11,2	11,2
2 Raspador atípico	2	2,5	13,7
5 Raspador sobre lasca retocada	1	1,2	14,9
8 Raspador sobre lasca	2	2,5	17,4
13 Raspador espeso en hocico	4	5	22,4
14 Raspador plano en hocico	2	2,5	24,9
23 Perforador	1	1,2	26,1
24 Bec	1	1,2	27,3
27 Butil diedro recto	6	7,5	34,8
28 Butil diedro desviado	3	3,7	38,5
29 Butil diedro de ángulo	7	8,7	47,2
30 Butil simple de ángulo	2	2,5	49,7
31 Butil múltiple diedro	5	6,2	55,9
35 Butil sobre truncadura oblicua	1	1,2	57,1
36 Butil sobre truncadura cóncava	1	1,2	58,3
43 Butil nucleiforme	1	1,2	59,5
44 Butil plano	3	3,7	63,2
51 Microgravette	1	1,2	64,4
61 Pieza con truncadura oblicua	2	2,5	66,9
62 Pieza con truncadura cóncava	1	1,2	68,1
63 Pieza con truncadura convexa	1	1,2	69,3
65 Pieza con ret. continuos en un borde	7	8,7	78
66 Pieza con ret. continuos en dos bordes	1	1,2	79,2
74 Pieza con muescas	2	2,5	81,7
75 Denticulado	4	5	86,7
76 Pieza estillada	1	1,2	87,9
77 Raedera	1	1,2	89,7
78 Raclette	2	2,5	91,6
85 Laminilla de dorso	3	3,7	95,3
89 Laminilla con escotaduras	1	1,2	96,5
92 Diversos	2	2,5	99
Total	80		

### 2.3.3. Arte mueble

Durante la prospección realizada por D. José Ramil a principios de los ochenta se localizó en este yacimiento un colgante pétreo, del que posteriormente se ofrecería una descriptiva, a la cual nos remitimos (Ramil Soneira, Vázquez Varela 1983; Vázquez Varela 1993).

Se trata de una pieza hecha con un material blando, fácilmente rayable, de sección aplastada y dimensiones: 43x34x11mm. Peso: 24gr. De contorno irregular, en uno de los extremos está fracturada, lo que no impide apreciar parte de un orificio circular de entrada bipolar. La decoración es de tipo lineal simple y consiste en muescas regulares sobre el borde convexo -actualmente bastante erosionadas- y una incisión rectilínea vertical, ancha y profunda, con surco en U, más o menos centrada sobre cada una de las caras, tal y como se aprecia en el dibujo esquemático del mismo.



En el Cantábrico encontramos algunos de estos colgantes pétreos que, en todos los casos presentan una cierta homogeneidad en cuanto a la simpleza decorativa e incluso morfológicamente. Según criterios estilísticos, los paralelos más directos serían las piezas de La Paloma (Barandiarán Maeztu 1972:164; Corchón Rodríguez 1986:400) si bien éste es de dimensiones mayores; la de Altamira (Barandiarán Maeztu 1972:78; Corchón Rodríguez 1986:294); los dos ejemplares aparecidos en Balmori (Barandiarán Maeztu 1972:88; Corchón Rodríguez 1986:282) presentan una morfología más alargada y regular; la pieza del Castillo (Corchón Rodríguez 1986:308) muestra el orificio de suspensión excéntrico; el colgante de Lumentxa (Corchón

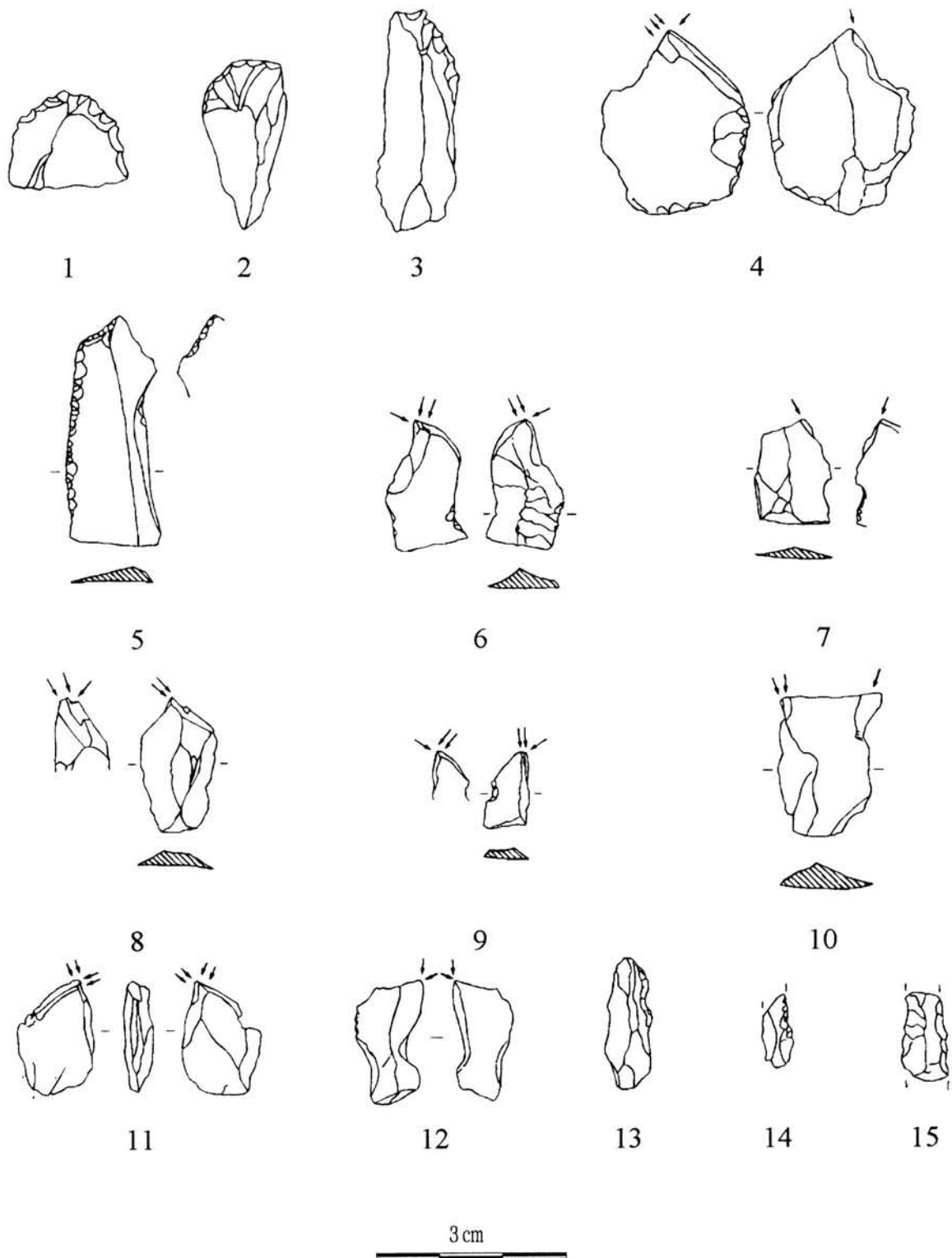


FIG. 9. *Industria de Ferveles II: Raspadores (1, 2), Lámina con retoque continuo (3, 5), Buriles (4, 6-12), Laminillas de dorso (13-15).* (Fuentes: Villar Quinteiro; Pérez Rodríguez 1991).

Rodríguez 1986:342) es de morfología irregular y en una cara tiene un fino gravado lineal en aspa y finalmente, la pieza de Morín (Barandiarán Maeztu 1972:147) presenta muescas en todo su contorno y morfológicamente es mucho más estrecho.

Excepto éste último que se atribuye el Gravettiense, los demás parecen unánimemente relacionados con momentos iniciales o antiguos del Magdalenense.

#### 2.4. El yacimiento de Pena Grande (Villalba, Lugo)

Localizado en el lugar de Bordelle, parroquia de Santaballa, municipio de Villalba, corresponde a las coordenadas 43° 21' 40" latitud Norte y 4° 02' 50" longitud Oeste. Se trata de un yacimiento al abrigo de un afloramiento cuarcítico que domina un valle suave en la zona marginal de llanura, a 600 m.s.n.m.

Localizado a principios de los setenta, se realizó una intervención arqueológica de la que se da cuenta en una breve reseña (Alonso del Real, Vázquez Varela 1976). En 1989 será objeto de un estudio estratigráfico y toma de muestras, tanto para análisis polínico como edáfico.

##### 2.4.1. Estratigrafía

El análisis de este suelo señala la existencia de un depósito policíclico, distinguiéndose hasta cuatro ciclos de formación desarrollados sobre cuarcita -lo que le confiere un carácter muy arenoso- conteniendo un único nivel de ocupación, precisamente en el ciclo más antiguo. A continuación se ofrece la descriptiva de este suelo (Martínez Cortizas, Moares Dominguez 1995):

- Horizonte 1A: 0-30cm. Color oliva pardo en húmedo, gris amarillento en seco; arenoso, suelto sin estructura. Abundantes gravas de cuarcitas angulosas y algunas de cuarzo en los primeros 10cm. Límite neto. Estéril.
- Horizonte 2AC: 40-60cm. Similar al anterior pero con gran abundancia de piedras, principalmente hacia la base. Límite neto. Estéril.
- Horizonte 3C: 60-90cm. Amarillo grisáceo oscuro, suelto, con algunos agregados en

bloques subangulares de tamaño medio; algunas gravas. Límite neto. Estéril.

- Horizonte 4A: 90-110cm. Negro parduzco. La parte superior aparece endurecida por presencia de óxidos y probablemente manganeso, muestra algunos agregados prismáticos de bordes redondeados; hacia la base es más pardo. Límite gradual. Fértil.
- Horizonte 4C: a partir de 110cm. Saprolita de cuarcita.

##### 2.4.2. Industria lítica

En el conjunto lítico recuperado los RDT aportan el grueso de la muestra (80%), que se completa con las piezas retocadas -PR- (16%) y algunos restos de núcleos (4%). A continuación se exponen las principales características en el siguiente cuadro resumen:

YACIMIENTO	PENA GRANDE		
Nº Efectivos	1,390		
Materias primas	Cr (41%), S (28%), Pc (15%), C (10%), Qz (6%)		
Composición Tecnológica	S: Ilam. 41%, repartido. C: Ilam 21%, principalm. h. Pc: Ilam 60%, donde h 40%.	Cr: Ilam 37%, principalm. h. Qz: Ilam 57%, donde h 35%	
Características tipológicas	Total 220 PR Ilam. total (50%), donde h (31%)		
	IG: 26% IB: 21% IP: 4%	IGA: 1% IBd: 14% IBt: 4%	GA: 1,3% GP: 25%

El Sustrato (12%) incluye escotaduras, piezas estilladas, denticulados y raederas.

El Uh está bien representado (25%), con microgravettes, flechitas, laminillas truncadas, de dorso, de dorso más truncadura, escotadas, punta aziliense, un trapecio y un segmento.

**Secuencia estructural: G Uh/ B<sup>1/2</sup> Sustr.<sup>1/2</sup> P = Tr P.ret D C**

Se señala ahora una mayor participación de materias primas diferentes del sílex -de origen no estrictamente local y de buena calidad-, por lo que el análisis tecnológico se realiza a nivel de cada producción que, en general se caracterizan por los importantes valores de laminaridad alcanzados, aportados fundamentalmente por el producto microlaminar -h-, excepto en la produc-

ción de sílex, donde aún se mantiene repartido entre H y h. Igualmente se destaca el importante valor alcanzado por el GP frente al GA.

En cuanto al estudio tipométrico, la gráfica de B. Bagolini señala ahora una dispersión caracterizada por la fuerte tendencia de esta producción a la concentración en la categoría micro, además de buena representación del tamaño pequeño, mientras que las categorías dimensionales mayores están raramente presentes (fig. 10).

A continuación ofrecemos el listado de los tipos identificados:

Tipo	Nº	%	%Ac.
1 Raspador simple	3	1,3	1,3
2 Raspador atípico	1	0,4	1,7
3 Raspador doble	1	0,4	2,1
5 Raspador sobre lasca retocada	9	4	6,1
7 Raspador en abanico	2	0,9	7
8 Raspador sobre lasca	33	14,8	21,8
9 Raspador circular	2	10,9	22,7
10 Raspador unguiforme	4	1,8	24,5
11 Raspador carenado	1	0,4	24,9
14 Raspador plano en hocico	1	0,4	25,3
17 Raspador-Buril	1	0,4	25,7
19 Buril-lámina truncada	1	0,4	26,1
21 Perforador-Raspador	1	0,4	26,5
23 Perforador	6	2,7	29,2
24 Bec	3	1,3	30,5
27 Buril diedro recto	10	4,5	35
28 Buril diedro desviado	1	0,4	35,4
29 Buril diedro de ángulo	9	4	39,4
30 Buril simple de ángulo	9	4	43,4
31 Buril múltiple diedro	3	1,3	44,7
32 Buril carenado	1	0,4	45,1
34 Buril sobre truncadura recta	1	0,4	45,5
35 Buril sobre truncadura oblicua	4	1,8	47,3
36 Buril sobre truncadura cóncava	1	0,4	47,7
37 Buril sobre truncadura convexa	2	0,9	48,6
38 Buril transversal sobre retoque lateral	2	0,9	49,5
39 Buril transversal sobre escotadura	1	0,4	49,9
40 Buril múltiple sobre truncadura	1	0,4	50,3
44 Buril plano	2	0,9	51,2
51 Microgravette	6	2,7	53,9
54 Flechette	2	0,9	54,8
58 Pieza de dorso total	3	1,3	56,1
59 Pieza de dorso parcial	1	0,4	56,5
60 Pieza con truncadura recta	4	1,8	58,3
61 Pieza con truncadura oblicua	1	0,4	58,7
62 Pieza con truncadura cóncava	2	0,9	59,6

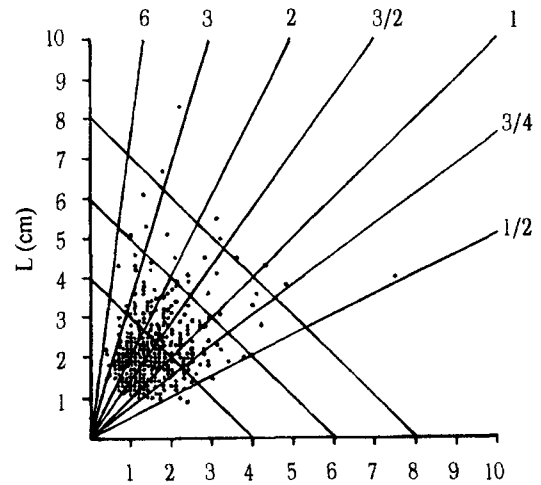


FIG. 10. Gráfica de dispersión de Bagolini.

63 Pieza con truncadura convexa	2	0,9	60,5
65 Pieza con ret. continuo en un borde	4	1,8	62,3
66 Pieza con ret. continuo en dos bordes	1	0,4	62,7
74 Pieza con escotaduras	10	4,5	67,2
75 Denticulado	3	1,3	68,5
76 Pieza estillada	8	3,6	72,1
77 Raedera	6	2,7	74,8
81 Trapecio	1	0,4	75,2
3 Segmento	1	0,4	75,6
84 Laminilla truncada	5	2,2	77,8
85 Laminilla de dorso	26	11,7	89,5
86 Laminilla de dorso y truncadura	8	3,6	93,1
89 Laminilla de escotaduras	6	2,7	95,8
91 Punta aziliense	1	0,4	96,2
92 Diversos	3	1,3	97,5
Total		220	

Los raspadores ofrecen amplia variedad de tipos pero en general tienden a ejemplares cortos con frentes semicirculares o completamente circulares, muestran un importante carácter carenado o espeso (65%) además de la tendencia al recorte de estos soportes.

Entre el nutrido utillaje microlaminar, señalar la presencia de un trapecio y un segmento, sobre laminillas delgadas de sílex y cristal, respectivamente. No obstante en este grupo las laminillas de dorso son los elementos más numerosos, siendo escasos los ejemplares en los que se puede apreciar apuntamiento; además tam-

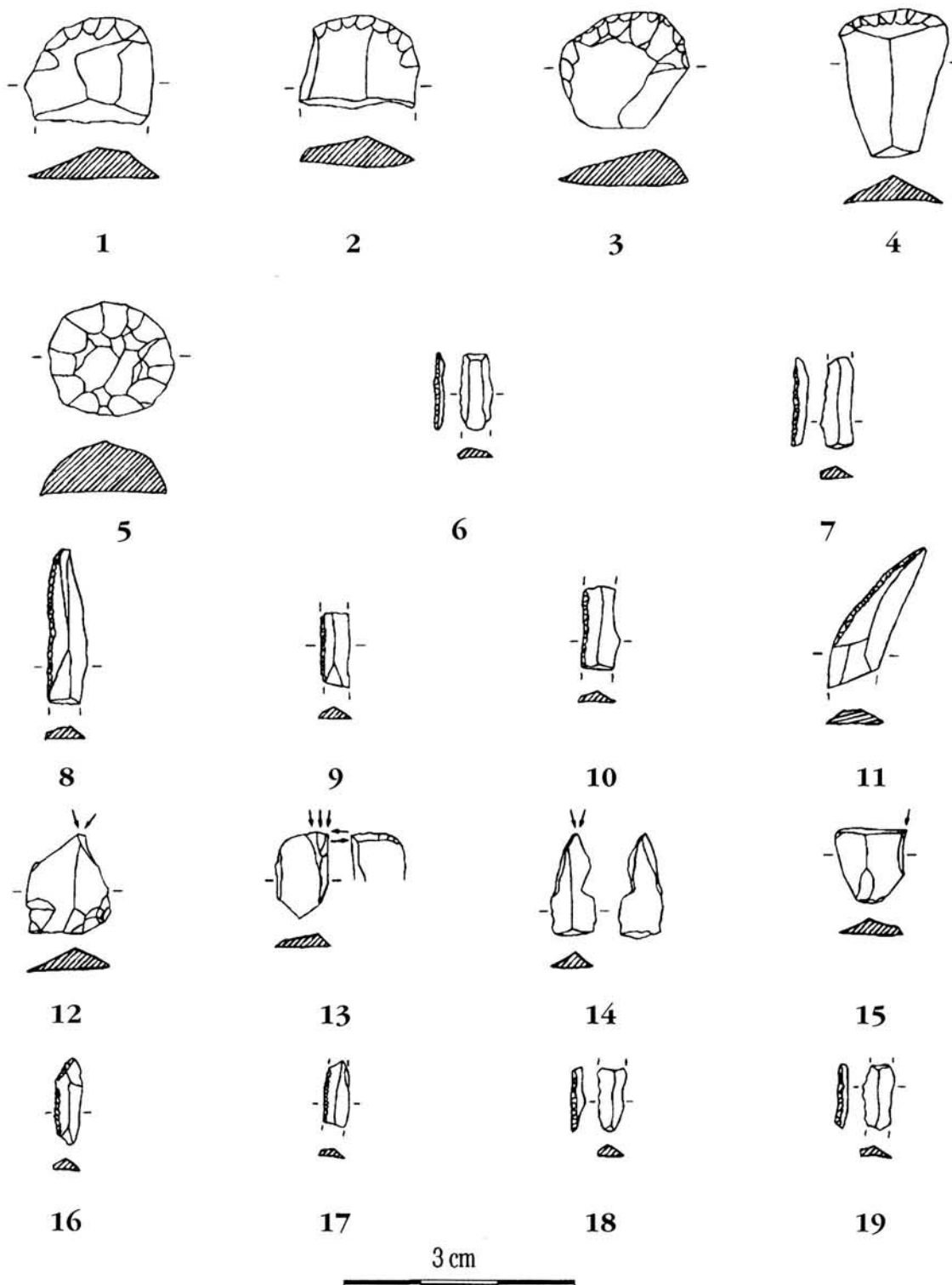


FIG. 11. *Industria de Pena Grande: Raspadores (1-5). (Fuente: Galicia Historia. Tomo I. Prehistoria e Historia Antiga). Laminillas de dorso (6, 7, 8, 9, 16, 17, 18, 19), puntas de dorso (8, 11), buriles (12, 13, 14, 15). (Fuente: Galicia Historia. Tomo I. Prehistoria e Historia Antiga).*

bién están presentes laminillas truncadas, escotadas, etc.

La secuencia estructural obtenida de este conjunto aparece encabezada por G como grupo primario de mayor peso aunque sin llegar a dominar la estructura, pues es seguido muy de cerca por el utillaje microlaminar -Uh- que aparece ahora como un grupo fuerte; en tercer lugar está B y tras una leve ruptura, se sitúa el sustrato -Sustr.- con un protagonismo importante respecto del resto de los grupos que le siguen y que forman parte del tramo final de la secuencia, entre los que se encuentra las piezas con retoques continuos -P.ret-.

### 2.5. El yacimiento de Prado do Inferno (Muras, Lugo)

El yacimiento bajo abrigo de Prado do Inferno fue descubierto por D. José Ramil Soneira (1971), se localiza en la cuenca alta del río Eume y en posición de ladera, a 520 m.s.n.m. Sus coordenadas geográficas son: 43° 27' 20" latitud Norte y 4° 02' 00" longitud Oeste. En los setenta se desarrollaron trabajos arqueológicos de los que únicamente se publicaron unas breves reseñas (Alonso del Real, Vázquez Varela 1976). A principios de los noventa el abrigo se encuentra comprendido en el terreno de un recinto industrial (fábrica de Ferroplast) y debido al peligro que representa el crecimiento del mismo, se realiza lo que hasta ahora fue la última intervención arqueológica cuyos objetivos prioritarios eran el análisis estratigráfico y edáfico, así como tratar de delimitar la ocupación.

Sin embargo en esta ocasión ya no es posible documentar la ocupación paleolítica, excepto en un pequeño testigo pegado a la pared del abrigo, poniéndose de manifiesto la escasa extensión de ésta.

#### 2.5.1. Estratigrafía

El yacimiento se encuentra emplazado sobre un coluvio granítico depositado sobre granito alterado *in situ*. De gran complejidad estratigráfica, se observó la existencia de un suelo policíclico con importante variabilidad en la horizontal (Martínez Cortizas, Moares Dominguez 1995). La localización de la ocupación paleolítica en este suelo, a la vista de los resultados y según

la descriptiva de D. José Ramil Soneira (recogida y comentada en: Llana Rodríguez 1990), se situaba en el horizonte A del ciclo más antiguo (III) que, desgraciadamente desapareció tras la intervención arqueológica, por lo que posteriormente este ciclo III tan sólo se documenta en la Cata Oeste pero mediante un horizonte BC, sobre el cual se emplazaría el horizonte A pero que tenía una extensión muy limitada o resultó eliminado por la erosión en su mayor parte.

#### 2.5.2. La industria lítica

En el conjunto lítico recuperado los restos de talla -RDT- representan el 86% y se acompañan de piezas retocadas -PR- (10%), además de restos de núcleos (4%). A continuación se exponen las principales características de esta industria, recogidas en el siguiente cuadro resumen.

Se observa un mayor reparto de materias primas de forma que el sílex se ve superado por el cristal -mantiene una buena calidad y origen no estrictamente local, distinguiéndose además variedad de tipos-; la componente laminar es importante y descansa fundamentalmente sobre el producto micro, excepto en la producción de sílex. Se tiene un importante peso del GP frente a un inexistente GA.

YACIMIENTO	PRADO DO INFERNO		
Nº Efectivos	1.448		
Materias primas	Cr (56%), S (25%), C (17%), Qz (1%), Pc (0,5%)		
Composición	Cr: ILam. 34%, donde h 25%	C: ILam. 27%, principalm. H.	
Tecnológica	S: ILam. 33%, donde H 21%	Qz: ILam. 33%, donde h 25%	
Características tipológicas	Total 144 PR		
	ILam. total (41%), donde h (33%)		
	IG: 28%	IGA: 0	GA: 0
	IB: 20%	IBd: 14%	GP: 26,3%
	IP: 3%	IBt: 5%	

El Sustrato (12%) incluye escotaduras y escasas piezas estilladas y denticuladas.

El Uh está bien representado, con microgravettes, laminillas truncadas, de dorso, de dorso más truncadura, escotadas, punta aziliense, un rectángulo y un segmento.

**Secuencia estructural:** Uh G<sup>2</sup> B<sup>2</sup> Sustr.<sup>3</sup> P Tr P.ret C = D

El estudio tipométrico (fig. 13) señala una particular distribución de esta producción caracterizada por la fuerte concentración de ésta en la zona micro y pequeña, mientras que las otras categorías dimensionales son escasas; y en este sentido coincide con lo visto en Pena Grande.

A continuación ofrecemos el listado de piezas retocadas identificadas:

Tipo	Nº	%	%Ac.
1 Raspador simple	5	3,4	3,4
5 Raspador sobre lasca retocada	4	2,7	6,1
7 Raspador en abanico	1	0,6	6,7
8 Raspador sobre lasca	28	19,4	26,1
10 Raspador unguiforme	1	0,6	26,7
15 Raspador nucleiforme	1	0,6	27,3
17 Raspador - Buril	1	0,6	27,9
19 Buril-lámina truncada	1	0,6	28,5
23 Perforador	2	1,3	29,8
24 Bec	2	1,3	31,1
27 Buril diedro recto	14	9,7	40,8
29 Buril diedro de ángulo	3	2	42,8
30 Buril simple de ángulo	3	2	44,8
34 Buril sobre truncadura recta	1	0,6	45,4
35 Buril sobre truncadura oblicua	2	1,3	46,7
36 Buril sobre truncadura cóncava	3	2	48,7
37 Buril sobre truncadura convexa	1	0,6	49,3
39 Buril transversal sobre escotadura	1	0,6	49,9
41 Buril múltiple mixto	1	0,6	50,5
51 Microgravette	5	3,4	53,9
56 Pieza con muesca	1	0,6	54,5
58 Pieza de dorso	1	0,6	55,1
60 Pieza con truncadura recta	3	2	57,1
63 Pieza con truncadura convexa	1	0,6	57,7
65 Pieza con ret. continuos en un borde	2	1,3	58,9
66 Pieza con ret. continuos en dos bordes	1	0,6	59,5
74 Pieza con escotaduras	9	6,2	65,7
75 Denticulado	4	2,7	68,4
76 Pieza estillada	3	2	70,4
78 Raclette	2	1,3	71,7
80 Rectángulo	1	0,6	72,3
83 Segmento	1	0,6	72,9
84 Laminilla truncada	2	1,3	74,2
85 Laminilla de dorso	18	12,5	86,7
86 Laminilla de dorso truncada	9	6,2	92,9
89 Laminilla con escotaduras	4	2,7	95,6
91 Punta aziliense	3	2	97,6
Total	144		

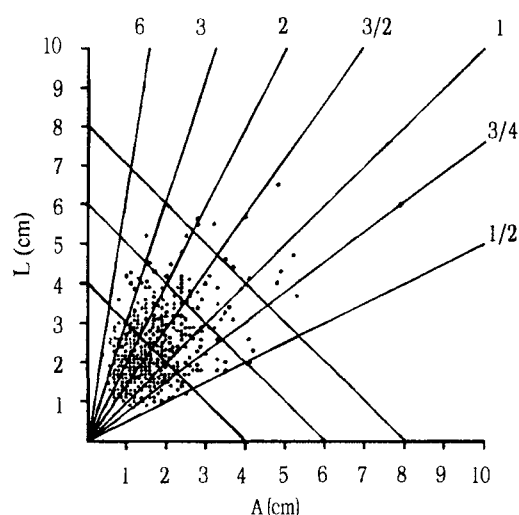


FIG. 12. Gráfica de dispersión de Bagolini.

La secuencia estructural obtenida y recogida en el cuadro resumen, aparece ahora encabezada por el utillaje microlaminar -entre el que se destaca la presencia de microgravettes, rectángulo, segmento, laminillas de dorso, truncadas, escotadas, puntas azilienses, etc.-. A continuación aparece G, seguido en equilibrio con B y el sustrato se muestra como un grupo con cierto protagonismo en el conjunto. Las piezas con retoques continuos -P.ret- aparecen en el tramo final de la secuencia, con escasa representación.

## 2.6. El yacimiento de Pena Lliboi (Guitiriz, Lugo)

Se trata de un yacimiento al abrigo de un afloramiento rocoso conocido como la *Pena de Lliboi o Xiboi*. Localizado a 460 m.s.n.m. en la parroquia de San Esteban de Parga, en el municipio de Guitiriz (Lugo), corresponde a las coordenadas U.T.M.: X: 591.836, Y: 4.777.110 del Mapa Topográfico Nacional.

Descubierto por M. Anxo López-Felpeto durante una prospección realizada en 1990, tras observar la presencia de materiales líticos en superficie, procedentes de la desmantelación del área inmediata al afloramiento granítico (López-Felpeto 1990). Muy próximo al yacimiento se encuentra una cantera de explotación del granito cuya extensión representa una seria amenaza para el mismo, motivo por el que en 1994 se

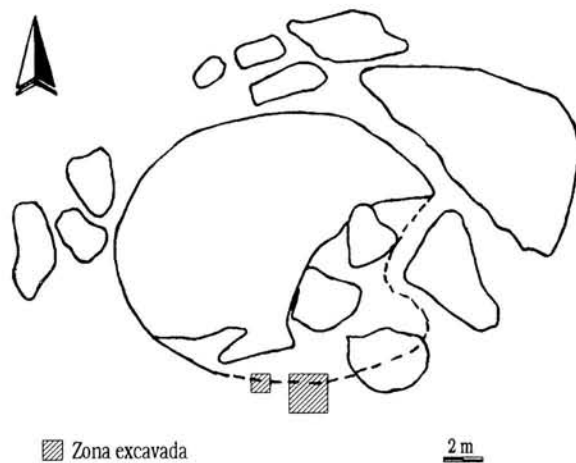


FIG. 13. *Planta del abrigo de Pena Lliboi.*

autoriza una intervención arqueológica de urgencia -por la Dirección Xeral do Patrimonio Histórico e Documental de la Xunta de Galicia-, dirigida por M. A. López-Felpeto y C. Llana Rodríguez. En dicha autorización se especifican el tiempo de duración de la misma y el área a intervenir  $-4\text{m}^2$ .

#### 2.6.1. Estratigrafía

Nos encontramos nuevamente ante un suelo policíclico de gran complejidad, observán-

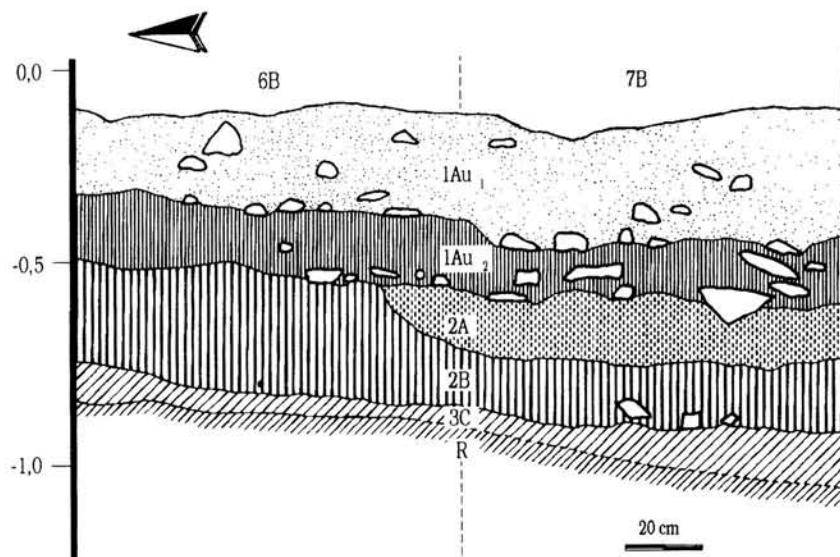


FIG. 14. *Secuencia estratigráfica de Pena Lliboi.*

dose notables variaciones en la horizontal (Llana Rodríguez López-Felpeto Gómez 1994; Martínez Cortizas, Moares Dominguez 1995) y en el que los restos de ocupación se encuentran repartidos por el perfil, con particular concentración en el ciclo 2. El perfil más completo es el correspondiente al cuadro 7B (fig. 14):

- I: 0-20cm. Material suelto producto de aportes recientes. Fértil.
- Horizonte 1A: 20-60cm. Negro parduzco, arenoso-franco, moderada estructura migajosa, ligeramente adherente y plástico, con gravas angulosas de granito, abundantes carbones en superficie. Límite neto marcado por una línea de piedras. Fértil.
- Horizonte 2A: 60-75cm. Negro, franco-arenoso, moderada estructura en bloques subangulares, friable, moderadamente plástico; presenta algunas gravas angulosas de granito, distribución heterogénea. Límite neto a gradual. Fértil.
- Horizonte 2BC: 75-90cm. Pardo amarillento, arenoso-franco, moderada estructura en bloques subangulares, más suelto en la base, ni adherente ni plástico; abundantes gravas en la base. Fértil.
- - Roca: granito de dos micas.

Con reservas de los procesos analíticos a realizar en laboratorio, se distinguen tres unidades o ciclos de formación, separados por líneas de piedras. El horizonte actual (IAu) además de evidencias arqueológicas contiene restos contemporáneos. La segunda unidad de formación de este suelo (representada en el horizonte 1A) contiene únicamente materiales arqueológicos líticos, con fragmentos rubefactados de granito, esporádicos restos de colorante, etc. Finalmente, el ciclo más profundo (de estructura 2A-2B en esta zona) contiene abundantes restos arqueológicos

y su límite a techo está formado por una contundente y continua línea de piedras.

De donde se sigue que probablemente este depósito se ha formado tras uno o varios procesos de dismantelación y redeposición y/o donde han tenido lugar movimientos verticales por lavado de elementos finos. La línea de piedras entre 1A y 2A señala un referente temporal estrictamente posterior a la conformación del tramo inferior del depósito. Hasta conocer las condiciones deposicionales queda por evaluar la presencia de material arqueológico en el horizonte superficial del ciclo más antiguo.

### 2.6.2. La industria lítica

A pesar de la reducida extensión intervenida se ha recuperado un abundante conjunto lítico en el que los RDT representan el 91%, completándose con piezas retocadas -PR- 7% y un reducido porcentaje de restos de núcleos (2%). A continuación exponemos el cuadro resumen de las características del conjunto:

YACIMIENTO	PENA LLIBOI		
Nº Efectivos	3.152		
Materias primas	C (64%), Qz (24%), Cr (6%), S (4%9)		
Composición Tecnológica	C: Ilam. 22,5%, donde h 17% Qz: Ilam. 12%, donde h 7%	Cr: Ilam. 51% donde h 47% S: Ilam. 60%, donde h 59%	
Características tipológicas	Total 203 PR Ilam. total (37%), donde h (27%)		
	IG: 21% IB: 18% IP: 8%	IGA: 2,4 IBd: 16% IBt: 2%	GA: 2,4 GP: 15%

El Sustrato (11%) incluye fundamentalmente escotaduras y escasas piezas estilladas, denticulados y raederas. El Uh está bien representado, con laminillas truncadas, de dorso, de dorso más truncadura, denticuladas, con escotaduras, Dufour, un rectángulo y cuatro trapecios.

**Secuencia estructural:** Uh G/ B/ Sustr./<sup>2</sup> P Tr/ P.ret C D

Se destaca ahora entre las materias primas el predominio de los cuarzos y cuarcitas frente a los bajos porcentajes alcanzados por el sílex y el cristal -materias primas escasas, de buena calidad y origen no estrictamente local, distinguiéndose diversos tipos de sílex empleado-. Y es precisamente en estas producciones donde se alcanzan los mayores índices laminares que ahora, en todos los casos descansan sobre el producto

micro. En cuanto a los grupos, se mantiene una importante diferencia a favor del GP sobre un casi inexistente GA.

El análisis tipométrico (fig. 15) de esta producción considerada globalmente señala no obstante una amplia dispersión de la misma, en la que si bien las categorías micro y pequeña están muy bien representadas, manteniendo la fuerte tendencia de esta producción hacia la microlitización, también pueden encontrarse algunos elementos normales e incluso grandes, quizá como resultado del empleo masivo y expeditivo de abundantes cuarzos y cuarcitas inmediatamente locales.

A continuación se expone el listado de piezas retocadas de este yacimiento:

Tipo	Nº	%	%Ac.
1 Raspador simple	4	1,9	1,9
5 Raspador sobre lasca retocada	2	0,9	2,9
7 Raspador en abanico	1	0,4	3,4
8 Raspador sobre lasca	23	11,3	14,7
10 Raspador unguiforme	6	2,9	17,7
11 Raspador carenado	1	0,4	18,2
12 Raspador carenado atípico	1	0,4	18,7
13 Raspador espeso en hocico	3	1,4	20,1
15 Raspador nucleiforme	1	0,4	20,6
19 Buril-lámina truncada	1	0,4	21,1
21 Perforador-Raspador	1	0,4	21,6
22 Perforador-Buril	1	0,4	22,1
23 Perforador	7	3,4	25,5
24 Bec	2	0,9	26,5
26 Microperforador	7	3,4	29,9
27 Buril diedro recto	13	6,4	36,3
28 Buril diedro desviado	3	1,4	37,8
29 Buril diedro de ángulo	9	4,4	42,2
30 Buril simple de ángulo	5	2,4	44,7
31 Buril múltiple diedro	2	0,9	45,7
34 Buril sobre truncadura recta	1	0,4	46,2
35 Buril sobre truncadura oblicua	3	1,4	47,6
57 Pieza de muesca	1	0,4	48,1
58 Pieza de dorso	1	0,4	48,6
60 Pieza con truncadura recta	4	1,9	50,5
61 Pieza con truncadura oblicua	5	2,4	53
62 Pieza con truncadura cóncava	1	0,4	53,5
63 Pieza con truncadura convexa	1	0,4	54
64 Pieza bitruncada	1	0,4	54,5
65 Pieza con ret. continuo en un borde	5	2,4	56,9
74 Pieza con escotadura	16	7,8	64,8

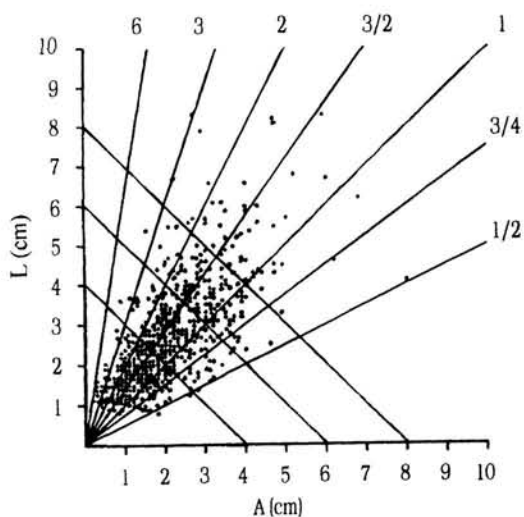


FIG. 15. Gráfica de dispersión de Bagolini.

75	Denticulado	4	1,9	66,8
76	Pieza estrellada	1	0,4	67,2
77	Raeder	6	2,9	70,2
78	Raclette	1	0,4	70,7
80	Rectángulo	1	0,4	71,2
81	Trapezio	4	1,9	73,2
84	Laminilla truncada	6	2,9	76,1
85	Laminilla de dorso	15	7,3	83,5
86	Laminilla de dorso truncada	1	0,4	84
88	Laminilla denticulada	7	3,4	87,5
89	Laminilla con escotadura	3	1,4	88,9
90	Laminilla Dufour	11	5,4	94,3
92	Diversos	101	4,9	99,3
	Total	203		

El variado utillaje microlaminar reúne diversos tipos, destacándose las laminillas de dorso, de tipo Dufour, denticuladas, truncadas, trapecios, un rectángulo, etc. La secuencia estructural obtenida -recogida en el cuadro resumen- precisamente aparece encabezada por el utillaje microlaminar -Uh- que se muestra como un grupo fuerte que incluso llega a establecer una leve ruptura con el resto de la secuencia. A continuación se sitúan G, B y Sustrato, como grupos con peso importante en el conjunto; a partir de éstos se señala una ligera ruptura para dar paso a los grupos minoritarios, entre los que se encuentran las piezas con retoque continuo -P.ret-.

## 2.7. El yacimiento de Xestido III (Abadín, Lugo)

Yacimiento al aire libre localizado en la parroquia de S. Pedro de Labrada, municipio de Abadín, se ubica sobre un pequeño otero de fondo de valle que domina el paso natural entre los pastos de valle a los de montaña; corresponde a las coordenadas: 43° 25' 42" latitud Norte, 07° 29' 48" longitud Oeste.

Descubierto en el transcurso de una prospección arqueológica (Ramil Soneira *et alii* 1994), en 1986 fue objeto de una intervención de urgencia al resultar afectado por la extracción de gravas, tal y como se aprecia en la planta del yacimiento (fig. 17). Ésta fue dirigida por D. José Ramil Soneira (1991) y financiada por la Consellería de Cultura de la Xunta de Galicia y la Fundación Araganey de Santiago.

### 2.7.1. Estratigrafía

El perfil de este suelo aparece formado por dos ciclos de evolución sobre granodiorita y separados por una línea de piedras (Martínez Cortizas 1990; Martínez Cortizas, Moares Domínguez 1995); arqueológicamente muestra un único horizonte fértil, en el ciclo más antiguo. Físicamente el yacimiento presenta la siguiente secuencia (fig. 18):

- Horizonte 1A: 0-14cm. Color negro, horizonte mineral rico en materia orgánica, franco-arenoso, estructura migajosa media, drenaje excesivo. Friable. Estéril.
- Horizonte 2A: 14-26cm. Color negro parduzco, horizonte mineral rico en materia orgánica, franco-arenoso. Moderada estructura migajosa fina, más compacta que la del horizonte superior; friable. Escasas gravas de cuarzo. Límite neto a techo, formado por una línea de piedras. Fértil.
- Horizonte 2B: 26-37cm. Color pardo, horizonte mineral de estructura moderada, ni adherente ni plástico. Límite gradual. Estéril.
- Horizonte 2C: >37cm. Saproлита de granodiorita.

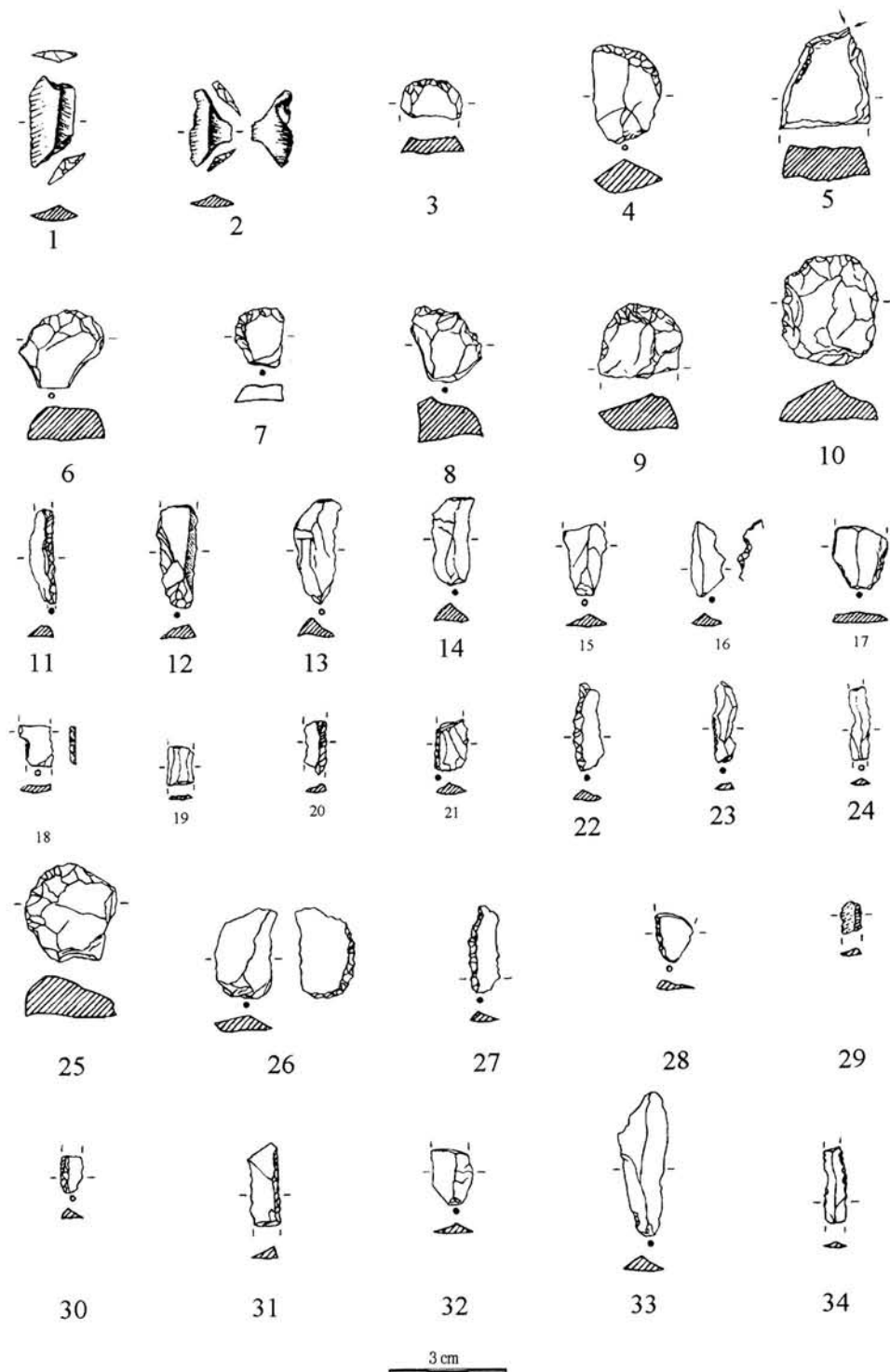


FIG. 16. *Industria de Pena Lliboi*: Trapecios (1, 2), Raspadores (3-4, 6-10, 25), Buril (5), Laminillas de dorso (11-12, 18-23, 27-31), Laminilla con escotadura (16), Laminillas brutas (13-15, 17, 32-34), Lasca con dorso inverso (26).

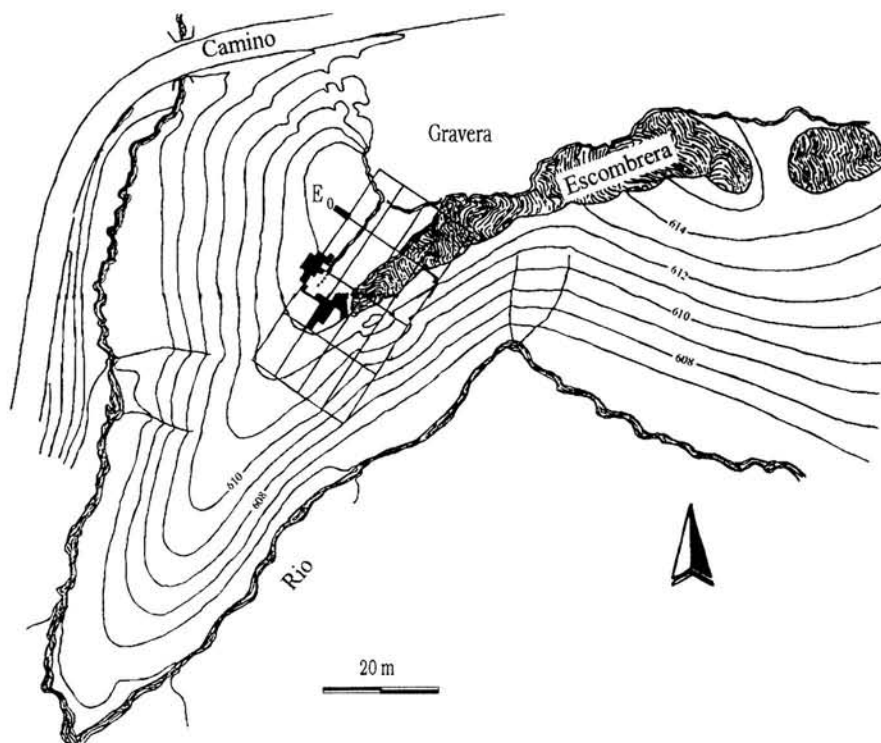


FIG. 17. Planta de Xestido III con la planimetría y donde se puede evaluar la incidencia de la extracción de gravas y su correspondiente escombrera sobre el mismo. La zona cuadriculada en negro corresponde a la zona intervenida arqueológicamente en 1986.

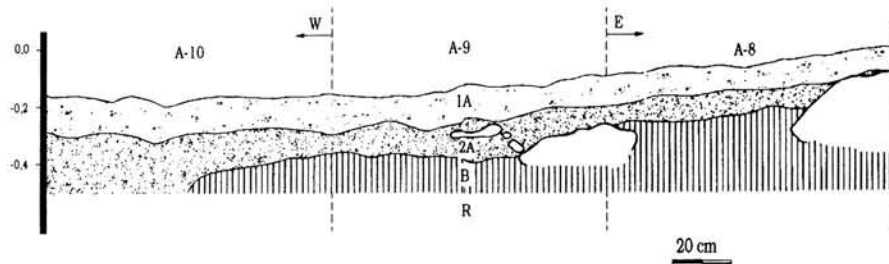


FIG. 18. Secuencia estratigráfica de Xestido III.

En el horizonte ocupacional -2A- se localizó una estructura de combustión coincidiendo con la intersección de cuadros A-10/A-11. De tipo de

cubeta excava y dimensiones 65x87cm. y 7cm. de profundidad, estaba acondicionada sobre una placa de granito y delimitada por piedras de buen tamaño que determinaban un perímetro rectangular (Ramil Soneira *et alii* 1991) y se encontraban fuertemente rubefactadas, de forma que al intentar levantarlas se fracturaban al nivel del suelo compactado, precisamente en esta zona. En su interior se encontraron abundantes restos de carbón que han permitido obtener una datación para esta ocupación.

#### 2.7.2. La industria lítica

Se recuperó un moderado conjunto industrial en el que los RDT representan el 80%, además de las PR (16%) y escasos restos de núcleos (4%), sin contar un nutrido surtido de esquirlas y débris recuperadas mediante el empleo de criba de malla de 2mm. en agua y que sin duda, confirman que la gestión técnica de las materias primas se realizó en el mismo asentamiento. A continuación se expone el cuadro resumen con las principales características de esta industria y en esta ocasión hemos optado por la

tipología de J. Fortea (1973):

YACIMIENTO	XESTIDO III		
Nº Efectivos	923		
Materias primas	C (83%), Qz (12%), Cr (3%)		
Composición	C: L (81%), lLam 18,5%, donde h 16%		
Tecnológica	Qz: L (91%), lLam. 9%, donde h 6%		
	Cr: L (69%), lLam. 30%, todos son h.		
Características tipológicas	Total 145 PR		
	lLam. total (37%), donde h (30%)		
	R 10,5%	LBA (6%)	FR (10%)
	B 16%	lba (5%)	G (3%)
	P 5,5%	MD (32%)	D (5%)
<b>Secuencia estructural:</b>	<b>MD/6</b>	<b>B/2</b>	<b>R FR/ D LBA P lba G M</b>

En cuanto a las materias primas se observa ahora el empleo masivo de cuarzos, que se completan con escasas cuarcitas -ambas son materias estrictamente locales, abundantemente disponibles en las inmediaciones del asentamiento-; mientras que el sílex es prácticamente testimonial y su origen no se encuentra en el entorno inmediato.

Los índices laminares son moderados, más importantes en la producción de cristal y no obstante, se incrementan entre las piezas retocadas.

El análisis tipométrico ejemplificado en la gráfica de Bagolini señala la fuerte concentración de esta producción en la zona micro, mientras que el resto de las categorías dimensionales están muy poco representadas; incluso el tamaño pequeño.

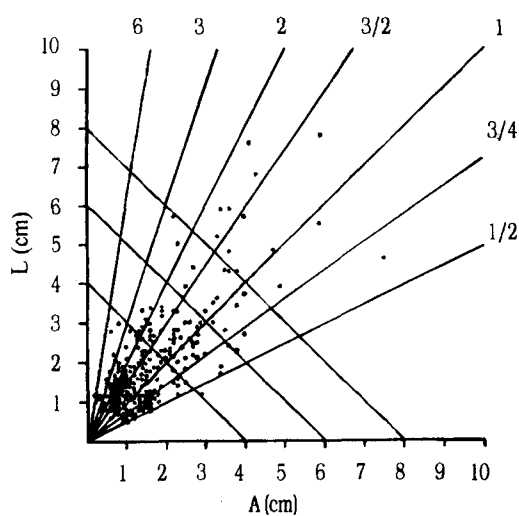


Fig. 19. Gráfica de dispersión de Bagolini.

Al mismo tiempo se confirma el predominio del producto tipo lasca, que muestra un amplio espectro desde la lasca laminar al tipo muy ancho.

A continuación se expone el listado de los tipos identificados:

Tipo	Nº	%	%Ac.
RASPADORES			
R1. Raspador simple sobre lasca	11	7,5	7,5
R2. Raspador sobre lasca retocada	1	0,6	8,1
R5. Raspador denticulado	1	0,6	8,7
R7. Raspador con muesca (s)	1	0,6	9,3
R8. Raspador sobre lámina o laminilla	1	0,6	9,9
R10. Raspador ojival	1	0,6	10,5
PERFORADORES			
P1. Perforador simple	8	5,5	16
BURILES			
B1. Buril simple con un paño	1	0,6	16,6
B2. Buril simple con dos paños	9	6,2	22,8
B3. Buril simple lateral con dos paños	5	3,4	26,2
B4. Buril simple lateral sobre fractura	5	3,4	29,6
B5. Buril simple múltiple	2	1,3	30,3
B6c. Buril lateral sobre fractura retocada cóncava	1	0,6	30,9
B6e. Buril múltiple sobre fractura retocada	1	0,6	31,5
LASCAS Y LÁMINAS CON BORDE ABATIDO			
LBA1. Lasca con borde abatido	6	4,1	35,6
LBA2. Rasqueta	2	1,3	36,9
LBA5. Lámina con borde abatido parcial	1	0,6	37,5
LAMINITAS CON BORDE ABATIDO			
lba2. Laminilla apuntada con borde abatido rect.	2	1,3	38,8
lba10. Laminilla con borde abatido parcial	2	1,3	40,1
lba11. Fragmento de laminilla con borde abatido	4	2,7	44,8
MUESCAS			
MD1. Lasca con muesca	18	12,4	57,2
MD2. Lasca denticulada	7	4,8	62
MD3. Lámina o laminilla con muesca	8	5,5	67,5
MD4. Lámina o laminilla denticulada	8	5,5	73
MD5. Sierra	5	3,4	76,4
FRACTURAS RETOCADAS			
FR1. Pieza con fractura retocada	15	10,3	86
MICROLITOS GEOMÉTRICOS			
G1. Segmento o media luna	3	2	88
G6. Trapecio con dos lados cóncavos	1	0,6	88,6
G11. Triángulo escaleno con vértice redondeado	1	0,6	89,2
TÉCNICA DE MICROBURIL			
M1. Microburil	2	2,7	91,9
DIVERSOS			
D1. Pieza astillada	2	1,3	93,2
D3. Raedera	1	0,6	93,8
D8. Diversos	6	4,1	97,9
TOTAL	145		

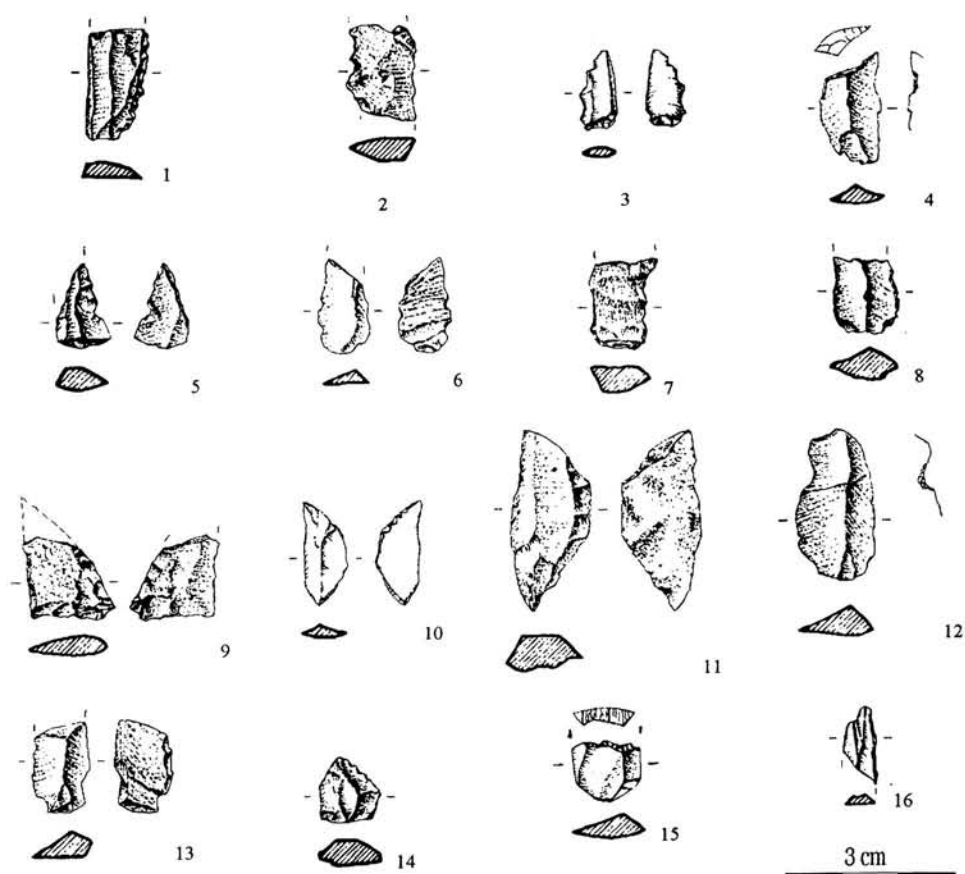


FIG. 20. *Industria de Xestido III: Laminillas denticuladas (1-3, 5-7), Laminilla con muesca bajo fractura retocada (4), Laminilla con borde abatido (8, 13, 16), triángulo (9), segmentos (10-11), Laminilla con muesca (12), microburil (14), fragmento de laminilla de cristal (15).*

La secuencia estructural resultante recogida en el cuadro resumen, aparece ahora bastante dominada por muescas y denticulados que se perciben como el grupo más fuerte, de forma que incluso establecen una ruptura importante con los demás. Les siguen buriles, raspadores -con ligero predominio de los primeros- y fracturas retocadas. En el tramo final, entre los grupos de menor representación se encuentran las laminillas de borde abatido y geométricos. Finalmente señalar la dudosa presencia de dos microburiles.

### 3. Períodos representados y secuencia regional

Una vez realizado el estudio de las industrias recuperadas, acudiremos a la información

procedente de otros ámbitos -como la palinológica, edafológica y cronológica- para poder plantear finalmente la atribución cultural de estos yacimientos y obtener la secuencia regional.

Así pues, comenzamos con la información disponible procedente de los análisis polínicos y edáficos realizados, no sólo en los depósitos arqueológicos, sino también en los suelos del entorno del yacimiento, y otros tipos de depósitos, como turberas, lagunas, etc. lo que ha permitido poder disponer en la actualidad de una secuencia cronoedáfica y paleoambiental para el Tardiglacial y Holoceno, apoyada en más de una treintena de dataciones [v.p.e. (Martínez Cortizas 1995; Martínez Cortizas, Moares Domínguez 1995; Martínez Cortizas, Rodríguez, Ramil Rego,

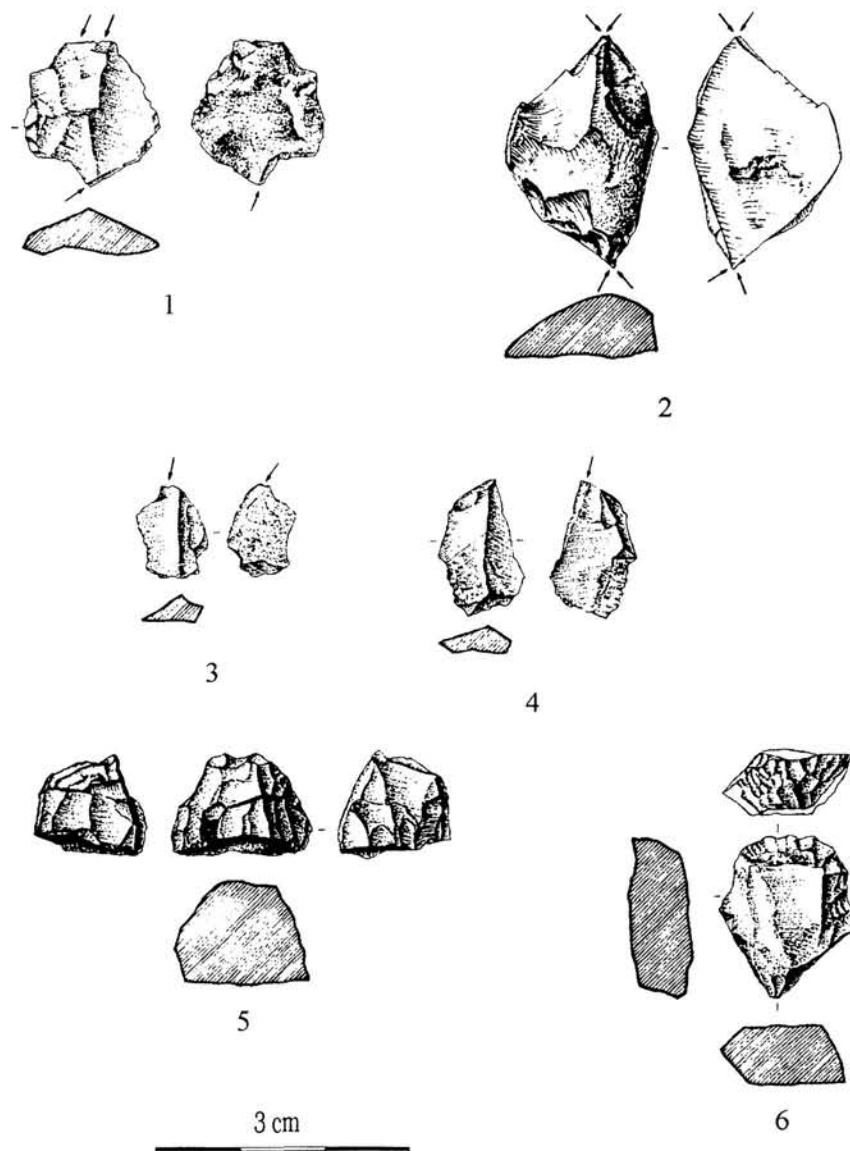


FIG. 21. *Industria de Xestido III: Buriles (1-4), Raspadores (5-6).*

Moares Domínguez 1993; Moares Domínguez 1994; Ramil Rego 1992, 1993a).

La información polínica relativa a los yacimientos aquí estudiados se recoge en el siguiente cuadro, sin embargo no ha sido posible obtenerla en el caso de Dos Niñas, por encontrarse actualmente agotado el depósito. Para Pena Lliboi donde recordemos, se trata de un depósito complejo con importantes variaciones tanto verticales como hori-

zontales, se desestiman los primeros datos obtenidos de los análisis polínicos por considerar que éstos reflejan unas condiciones ambientales posteriores a la génesis del depósito actual y en consecuencia, al momento de la ocupación.

Por su parte la secuencia cronocédáfica (Martínez Cortizas, Moares Domínguez 1995) coincide en señalar la existencia de discontinuidades en el registro edáfico y en consecuencia, polínico. Para el Tardiglaciario, los ciclos representados en los perfiles se agrupan en lo que correspondería a cinco fases de edafogénesis progresiva dominante -o de estabilidad (K)-, durante las cuales se produjo la formación de suelo y que se separan por ciclos de inestabilidad que determinan hiatus. De la parte que a nosotros nos interesa para este trabajo, los suelos preholocenos más antiguos corresponden a la fase K5 y tendrían una edad anterior al 10.000BP. En este tramo se encuentran Férvedes II, Pena Grande y Prado do

Inferno. Tras un hiatus, la siguiente fase de estabilidad (K<sub>6</sub>) se encontraría entre 9.500-6.000BP; aquí se situarían las ocupaciones de Pena Lliboi y Xestido III.

En cuanto a la información cronológica procedente de las ocupaciones, debemos de admitir que es escasa y solamente contamos con un grupo de dataciones para la Valiña (Llana Rodríguez, Villar Quinteiro, Martínez Cortizas 1996):

YACIM.	MUESTRA	DATACIÓN B.P.	LABORATORIO
La Valiña	Hueso	31.730+2.880/-2.110	GrN-20833
	Hueso	34.800+1.900/-1.500	GrN-17729
	Hueso	32.600*250	GrA-3014

Se observa que confirman esta ocupación como el momento más antiguo de Paleolítico Superior representado en la región y atribuida al Chatelperroniense (Villar Quinteiro 1989, 1991; Llana Rodríguez, Soto Barreiro 1991), localizada en el Würm III evidencia unas condiciones paleoambientales correspondientes a un período fresco y húmedo, señaladas en la sedimentología, el polen y la fauna (Fernández Rodríguez 1989; Fernández Rodríguez *et alii* 1993; Llana Rodríguez, Soto Barreiro 1991). Éste aparece tras un episodio frío y húmedo que nos remite a un momento posterior al máximo de la pulsación fría que sigue a Les Cottés; es decir, al entorno de Arcy/Denekamp, al menos en el tramo conservado (Llana Rodríguez, Villar Quinteiro, Martínez Cortizas 1996).

Tras un largo hiatus de casi 20.000 años, se situarían Férvedes II y Dos Niñas, cuya relación consideramos establecida a través de sus industrias y tipos de depósitos, y para los que estimamos una atribución cultural de Magdaleniense antiguo o inferior, situados en el entorno cronológico del 15.000-14.000BP.

Posteriormente tenemos las ocupaciones de Pena Grande, Prado do Inferno y Pena Lliboi, con industrias de características muy similares que atribuimos al Aziliense pero que por sus referencias paleoclimáticas se situarían en el Alleröd -Pena Grande y Prado do Inferno, pues no olvidemos que en este caso la ocupación es anterior a la formación del depósito actual- y muy posiblemente ya en momentos holocenos, quizá en el Preboreal, se encontraría Pena Lliboi.

Ya avanzado el Holoceno nos encontramos la ocupación de Xestido III. La información preliminar que para la región representa este yacimiento es de difícil definición pues en estos momentos se plantea una general problemática debida fundamentalmente, a la gran variabilidad mostrada por las industrias y que dificulta el esta-

	YACIMIENTO	POLEN (Ramil Rego 1992, 1993b)	CLIMA
W Ü R M III	La Valiña	Baja concentración polínica. Predominio del P.A.: <i>Tp. Pinus sylvestris</i> con <i>Abies</i> , <i>Juniperus</i> y caducifolios, con <i>Castanea</i> , <i>Ulmus</i> ...Polen no arbóreo: <i>Poaceae</i> y helechos. Formaciones arbustivas.	Fresco y húmedo.
T A R D O	Férvedes II	Detrimiento polen arbóreo de base a techo. P.A. 27% con <i>Corylus</i> , <i>Betula</i> , <i>Quercus</i> , <i>Tp. Pinus sylvestris</i> . Dominio de las <i>Ericaceae</i> (60%).	Frío y húmedo, pasando a frío y seco.
G L A C I	Pena Grande	Importante desarrollo del P.A.(62%): <i>Quercus</i> , <i>Corylus</i> , <i>Betula</i> , <i>Alnus</i> . <i>Tp. Pinus sylvestris</i> no supera 1%. En el P.N.A. dominio de <i>Ericaceae</i> (25%), con <i>Poaceae</i> y <i>Cistaceae</i> .	Templado húmedo.
A R	Prado do Inferno	Fuerte desarrollo P.N.A.: <i>Poaceae</i> , <i>Ericaceae</i> y <i>Cyperaceae</i> , con esporas (97%). Vegetación arbórea reducida: <i>Quercus</i> , <i>Corylus</i> , con <i>Tp. Pinus sylvestris</i> y <i>Betula</i> .	Frío.
H O L O C E N O	Xestido III	Caída del P.A. reflejada en <i>Quercus</i> mientras <i>Corylus</i> alcanza su valor máximo (41%). Incremento de <i>Ericaceae</i> y <i>Poaceae</i> .	Templado y húmedo

blecimiento de relaciones entre yacimientos geográficamente alejados. Además también debemos recordar la particular problemática planteada en la vecina región cantábrica para estos momentos, donde hasta ahora parece señalarse una clara diferencia entre la parte más oriental -País Vasco-, donde se conocen industrias de tradición tarde-noisiense, de importante componente microlítica y ricas en geométricos; mientras que en la parte occidental, las referencias parecen remitirse de forma pertinaz al Asturiense [v.p.e. (Arias Cabal 1991, 1992; González Morales 1982, 1993, 1995)].

Afortunadamente contamos con una datación para la ocupación de Xestido III y preferimos basar nuestra contextualización en criterios cronológicos:

YACIMIENTO	DATAIONES
Botiquería, nivel 2	7.550*200BP (Barandiarán Maeztu 1976, 1978, 1979)
Fuente Hoz	7.840*130BP 7.140*120BP (Baldeón, Ortiz 1984)
La Peña, nivel d inf.	7.890*120BP (Cava Almuzara 1994)
Sierra Plana	7.550*190BP (Arias Cabal, Pérez Suárez 1990)
Los Canes	Nivel F: 6.265*75BP (Arias Cabal 1991) Nivel D: 6.770*65BP Nivel K: 6.930*95BP
Moita do Sebastião	7.350*350BP (Roche 1980, 1982) 7.080*130BP
Vidigal	6.640*90BP (Vierra 1994)
Fiais	7.010*70BP (Vierra 1994)
Xestido III	7.310*160BP (Ramil Rego 1992)

Así pues, Xestido III con una industria epipaleolítica geométrica encuentra sus principales paralelos cronológicos en el Valle del Ebro -Botiquería, Fuente Hoz y Abrigo de La Peña-. En cuanto al Cantábrico, recientes informaciones acerca de la aparición de industrias con componente microlítica y geométrica, de las que se obtuvieron dataciones paralelizables con la de Xestido III, nos llevan a plantear una relación con parte de los materiales de la Sierra Plana de la Borbolla y Los Canes, si bien fueron atribuidos a momentos neolíticos (Arias Cabal 1991), consideramos que quizá puedan mejor interpretarse como indicios de un posible Epipaleolítico geométrico en la región, como tímidamente incluso lo deja entrever el mismo Arias Cabal (1991:242).

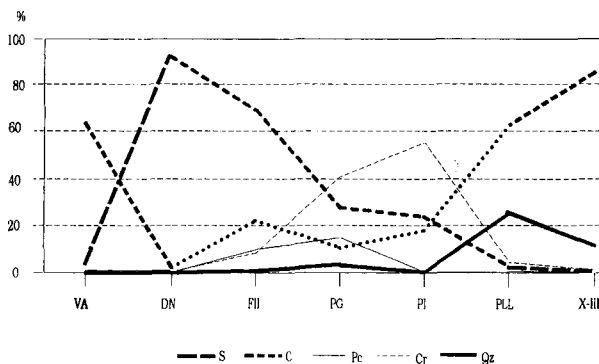
La otra región vecina que aporta referencias a este período es Portugal, donde se conocen abundantes y ricos yacimientos al aire libre en la Estremadura y Alentejo, presentando a nivel industrial un rico y variado microlitismo. El paralelo más próximo a Xestido III se encontraría en la ocupación más antigua de Moita do Sebastião (Muge) (Roche 1958, 1966, 1972, 1976, 1977, 1980; Roche, Veiga Ferreira 1972-73).

Igualmente el conchero de Fiais presenta un paralelo con estos momentos, mientras que Vidigal correspondería ya a un momento más avanzado.

A modo de conclusión, ofrecemos en la página siguiente un cuadro resumen de la secuencia documentada en Galicia.

#### 4. Materias primas

Si observamos el modelos de gestión de materias primas señalado en cada yacimiento enseguida saltan a la vista notables diferencias entre ellos que, de forma general, pueden ejemplificarse en la siguiente gráfica:



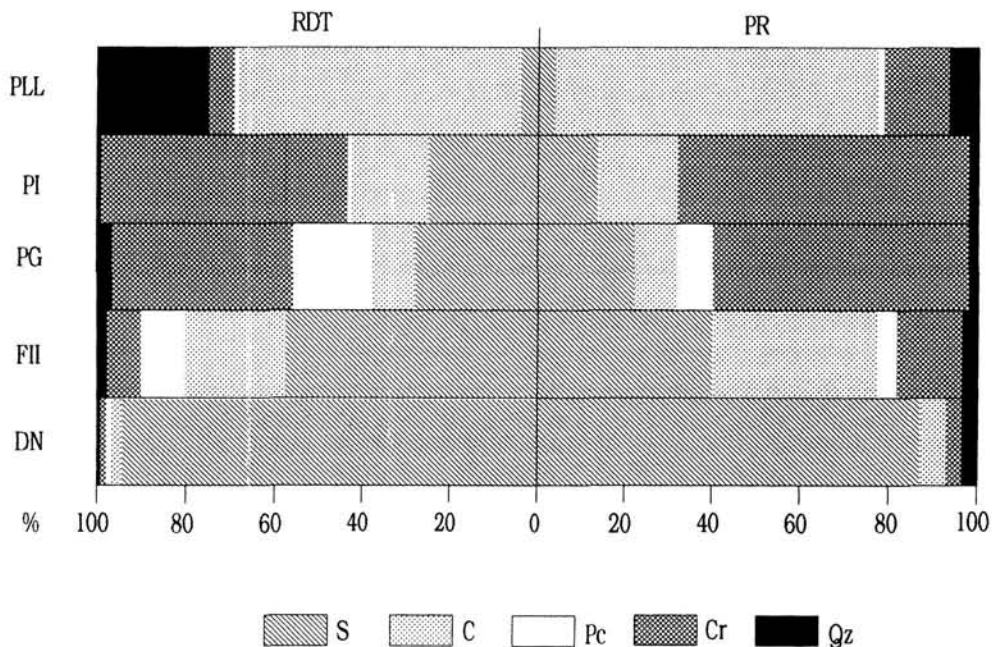
GRAFICA 1. Evolución mostrada en la economía de materias primas.

Según ésta, podría decirse que a lo largo del Paleolítico superior de la región se produjeron cambios en el modelo económico practicado con las materias primas líticas que llevaría de una situación antigua -representada en la Valiña- de empleo masivo de materias primas locales y diferentes del sílex a una posterior explotación masiva centrada precisamente, en el sílex local, abundante pero de mala calidad -representado en Dos Niñas y Férvedes II-. Posteriormente esta situa-

PERIODO	FASE	YACIMIENTO	CLIMA	PARALELOS
HOLOCENO	ATLÁNTICO	XESTIDO III	Templado	Botiquería, 2 Fuente Hoz La Peña
	CANTÁBRICO X PREBOREAL	Epi. geométrico PENA LLIBOI Aziliense	Húmedo Templado Húmedo	Riera 25-26
TARDIGLACIAR	CANTÁBRICO VIII	PENA GRANDE Aziliense	Húmedo y Templado	Azules 4-3e
	ALLERÖD	PRADO DO INFIERNO Aziliense		Azules 5 Rascaño 2.1 Berroberría D
	CANTÁBRICO III -DRYAS I (Antiguo)	FÉRVEDES II DOS NIÑAS Magdal. Inferior	Frío y seco	Juyo 13-11 Paloma 9.1 Rascaño 4.2-1
WÜRM III	Próximo ARCY /DENEKAMP	LA VALIÑA Chatelperroniense	Fresco Húmedo	Labeko-Koba IX Morín 10

ción parece evolucionar hacia una nueva diversificación en la que el sílex es ahora una materia prima no estrictamente local y de buena calidad,

pero va a ser paulatinamente sustituido por otras materias primas consideradas hasta ahora como alternativas; y todo este proceso tiene lugar sobre el mismo territorio.



GRAFICA 2. Análisis de la gestión técnica de cada materia prima en cada yacimiento (se descartan los casos cuyo número de efectivos no supera el millar).

La siguiente gráfica 2 permite una mayor aproximación al fenómeno comentado, al analizar la gestión técnica particular en cada yacimiento, distinguiendo los restos de talla -RDT- de los productos utilizados para la fabricación de piezas retocadas -PR-. Se observa como los diversos modelos económicos señalados constituyen un

fenómeno complejo en el que se involucra todo el proceso técnico de fabricación, resultando afectados tanto los RDT como las PR. Es decir, el consumo progresivo de materias primas diferentes al sílex representa un cambio económico importante que va a tener un reflejo no solamente entre los RDT, como inicialmente podría esperarse, sino también entre las PR, por lo que consideramos unas implicaciones profundas de tal comportamiento económico cuyas explicaciones proceden sin duda de diversas variables, pero entre las que no resultarán ajenas las propias estructuras tecnológicas de las industrias obtenidas en cada situación concreta.

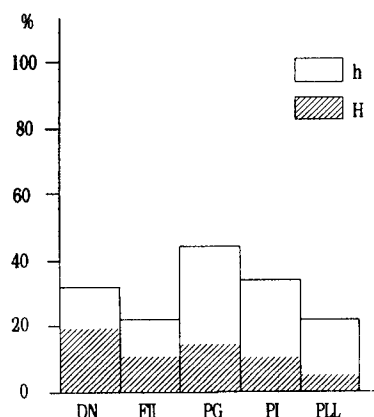
Así, consideramos que una vía de aproximación al análisis de la situación planteada pasa por la relación entre la demanda reflejada en cada caso y los productos obtenidos, partiendo de los datos aportados por el análisis industrial.

También será necesario acudir a las tecnologías líticas dictadas tanto por las propias materias primas como por las estructuras tecnológicas que se pretenden conseguir en cada momento. Así, una aproximación válida para observar este proceso ha de contemplar al menos, el análisis de las siguientes variables:



Los condicionamientos acerca de la extensión de este trabajo no permiten el desarrollo de cada uno de los aspectos anteriores, pero no obstante, nos parece interesante detenernos apenas en el análisis del ILam., que parece manifestarse como una componente decisiva de la estructura tecnológica de una industria y en consecuencia, del modelo económico practicado.

En la Gráfica 3 se analiza la producción laminar global en cada yacimiento. Se aprecia la



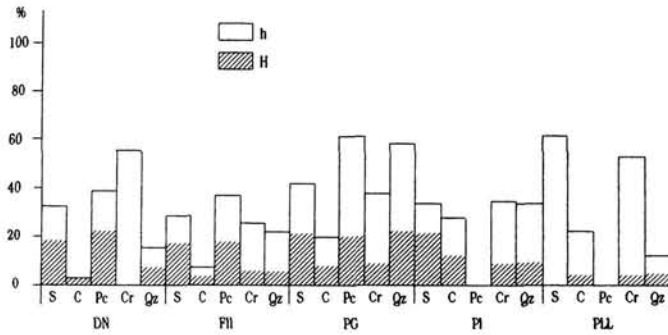
GRAFICA 3.

importancia de la componente laminar de mayores dimensiones -H- en las industrias de Dos Niñas y Férvedes II, pudiendo decirse que sobre ésta va a descansar la producción laminar buscada. Sin embargo, en los demás yacimientos, si bien presentan producciones laminares globales más importantes, se observa una disminución o progresiva pérdida de interés por H, lo que actúa en favor de la componente microlítica -h-, que ahora parece ser el elemento más buscado y sobre el que se va a hacer descansar la producción laminar.

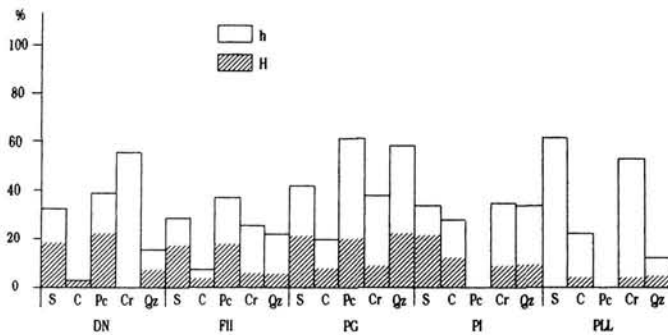
Este aspecto encuentra una mayor aproximación si analizamos el ILam. considerando por separado cada materia prima y tanto en el conjunto de los RDT (Gráfica 4), como entre las PR (Gráfica 5).

Las apreciaciones globales anteriores pueden matizarse ahora al hacer intervenir cada materia prima en el análisis. Se observa claramente como en Dos Niñas y Férvedes II con una producción laminar basada en la búsqueda de H y un consumo masivo de sílex, incluso se buscará este producto laminar con otras materias primas realmente minoritarias.

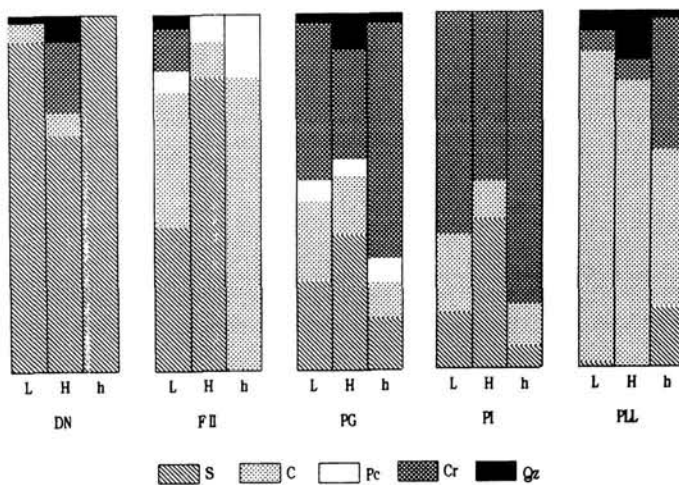
En los otros yacimientos es posible apreciar aún cierto protagonismo de H entre las producciones de sílex, pórfidos y cuarcitas -si bien ahora se trata de H pequeñas-, pero progresivamente se va a buscar el producto microlaminar -h- de forma generalizada con cualquier tipo de



GRAFICA 4.



GRAFICA 5.



GRAFICA 6. *Detracción para la fabricación de PR en cada yacimiento.*

materia prima, como se muestra en Pena Liboi. (Gráfica 5)

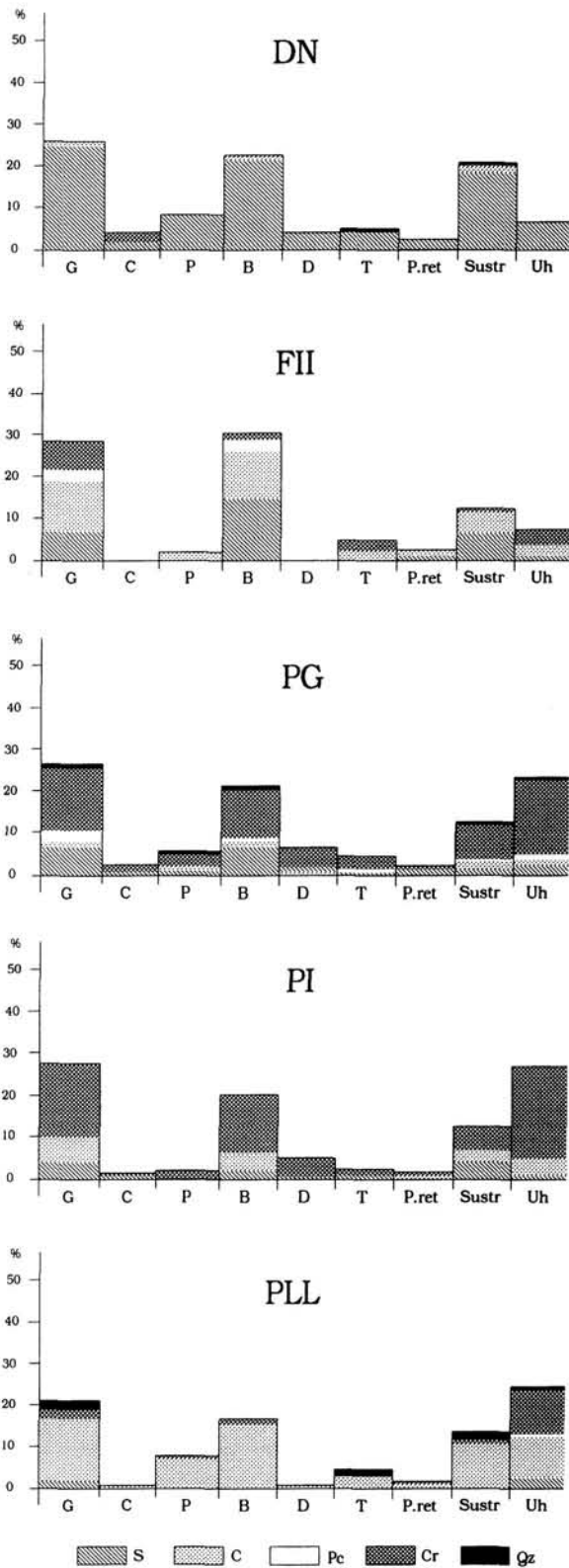
Así, este cambio en el interior de las estructuras tecnológicas parece ir acompañado de un cambio en la demanda y economía de materias primas líticas. En líneas generales representa la paulatina sustitución del aprovisionamiento del sílex y la producción laminar basada en el producto de grandes dimensiones -H-, en favor de la microlaminilla y una demanda diversificada que alcanzará un importante grado de especialización, como ocurre con el cristal.

Estos dos modelos económicos también quedan referenciados en el análisis de la detracción de productos para la fabricación de PR en cada yacimiento (Gráfica 6):

La participación de materias primas diferentes al sílex entre las láminas, que se observa en Dos Niñas y Férvedes II consideramos que encuentra explicación en la pésima calidad del sílex local que se está consumiendo, que presenta abundantes impurezas y geodas, obligando a un alto gasto de material y que precisamente, va a plantear los mayores problemas técnicos en la obtención de productos laminares grandes, motivo por el que se intentará paliar esta cuestión acudiendo -si bien no olvidemos que de forma muy limitada- a otras materias primas.

En cuanto a la relación entre estructura tipológica y materias primas (Gráfica 7) parece que no es posible hablar de una relación entre materia prima y tipo de útil fabricado, pues las materias primas alternativas aparecen repartidas en mínimos porcentajes por todos los grupos primarios, tanto en aquellos que muestran una alta exigencia de su índice laminar restringido -como buriles-, como en los que esta exigencia es nula -como raspadores-.

Consideramos sin embargo que este análisis viene una vez más a incidir en la relación existente entre soportes lami-



GRAFICA 7.

nares de mayores dimensiones y el sílex, de forma que cuando se produce el cambio en las estructuras tecnológicas de las industrias, la detracción de este material, incluso para el retoque, experimenta una notable reducción que precisamente coincide con el abandono del producto laminar grande.

### 5. Conclusiones

El estudio del aprovisionamiento y gestión técnica de los recursos líticos utilizados en el Paleolítico superior y Epipaleolítico gallego señala unas características que nos permiten diferenciar modelos económicos basados en diferentes cadenas operativas practicadas en diferentes momentos cronológicos pero sobre un mismo territorio.

Así, en el Paleolítico superior final los primeros cambios diacrónicos registrados se refieren a los esquemas de aprovisionamiento, pasando de un aprovisionamiento local basado en el consumo intensivo del sílex de mala calidad pero abundante, practicado en momentos magdalenienses, comportamiento que coincide con lo observado en la vecina región cantábrica [v.p.e. (Utrilla 1981; Rasilla Vives 1989; González Sáinz 1989; Straus 1986, 1991; Sarabia Rogina 1990, 1994, 1995)].

Sin embargo, en los momentos más evolucionados del Paleolítico superior gallego el aprovisionamiento se caracteriza porque si bien en un alto porcentaje continúa siendo intensivo y sobre materias primas locales -como cuarzos y cuarcitas-, se deja una mayor participación de materias primas no locales y de mejor calidad que las utilizadas anteriormente -sílex-. Además, este aprovisionamiento es diversificado y selectivo.

Consideramos que estos cambios no se producen de forma espontánea sino que están en relación tanto con el esquema de ocupación del territorio como con las actividades económicas de subsistencia, como en definitiva, con el concepto

económico que rige y orienta la totalidad del sistema productivo y que por supuesto, no permanece invariable en el tiempo.

En el concepto económico aplicado a la producción lítica juegan los principales papeles criterios de rentabilidad en la inversión de tiempo y energía necesarios, así como la particular cultura tecnológica de la que el grupo dispone para satisfacer sus necesidades.

En definitiva, todo esto sugiere que el aprovisionamiento de recursos líticos es una acción predeterminada de antemano y siempre es un proceso selectivo y ordenado, no solamente por los factores antrópicos apuntados, sino también por factores que dependen del propio medio natural, tanto en relación a la oferta lítica como a las propiedades morfoestructurales y físicas de las rocas [v.p.e. (Demars 1985, 1990, 1992; Llana Rodríguez 1989, 1991; Llana Rodríguez, Villar Quinteiro 1996)].

En relación al territorio económico, si bien es cierto que no disponemos de la valiosa información procedente de la fauna, tampoco podemos renunciar al hecho de que el estudio de las materias primas permite acceder, aunque de forma parcial -y posiblemente más restringida-, al conocimiento de parte de este territorio económico (Demars 1985, 1990, 1992). Así, consideramos posible plantear que en momentos de magdalenense antiguo el territorio económico manifestado por los recursos líticos aparece reducido en el sentido de que se corresponde con el más frecuentado, el más próximo al yacimiento. Es decir, el aprovisionamiento de recursos líticos se satisface con mínimos desplazamientos y bajo coste energético. Este comportamiento parece corresponder a una preferencia por parte de los grupos humanos de establecerse próximos a las fuentes de sílex, sin que al parecer tuviese un papel decisivo la determinada calidad del mismo; situación en la que se suponen entrarían en funcionamiento mecanismos de compensación, como puede ser su abundancia o la pequeña participación de materias primas alternativas -cuarzos y cuarcitas en Galicia, cuarcitas en Asturias- (González Sáinz 1989).

Frente a ésto, en momentos de Paleolítico superior final el aprovisionamiento de materias primas líticas parece reflejar una ampliación de

este territorio económico en el sentido de que junto a la explotación intensiva de recursos locales, manteniendo un desplazamiento y costo energético mínimos, ahora se completa con una mayor participación de recursos procedentes de zonas más alejadas y cuya introducción en el asentamiento se hace en forma de núcleos ya preparados o en fase de explotación; incluso en ocasiones parece que estos materiales fueron transportados formando parte del ajuar del individuo, para ser consumidos a lo largo del tiempo, pues no siempre están representadas las fases finales de sus cadenas operativas.

Sin perder de vista que nos referimos al territorio económico señalado por las materias primas -que son aquí nuestra única fuente de información- y de que todavía no contamos con una secuencia completa, la información disponible nos lleva a proponer una revisión de la que aparece como una fácil asociación pero quizá demasiado simplista: la mayor regionalización de los grupos azilienses llevaría a la reducción de las áreas de aprovisionamiento y en consecuencia, al cambio en la estructura tecnológica de las industrias, produciendo la caída del índice laminar.

En primer lugar hemos visto como el análisis del índice laminar señala ciertos cambios tecnológicos en el Aziliense, consistentes en la caída de la producción de la lámina grande -H-, pero de ninguna forma ésto equivale a la caída del índice laminar pues incluso éste es superior a momentos anteriores, sólo que ahora se sustenta en la producción de la microlaminilla -h-; al igual que en el Cantábrico [v.p.e. (Fernández-Tresguerres Velasco 1980, 1983, 1995; González Sáinz 1989)]. En segundo lugar porque se comprueba en estos momentos la práctica de un aprovisionamiento diversificado y caracterizado por el aumento de la calidad de las materias primas consumidas, identificándose fuentes no locales.

Así pues, sin dudar acerca de la mayor regionalización de estos grupos, si asumimos este cambio económico reflejado en el aprovisionamiento y gestión de recursos líticos, con una diversificación y mayor selección en momentos azilienses, ciertamente este proceso sucede en un territorio de menores dimensiones en relación con el frecuentado anteriormente por los grupos

anteriores. Muy posiblemente con la mayor regionalización se favoreció la mayor frecuentación de biotopos diversos, comenzándose la explotación más intensiva de recursos que hasta entonces no se habían tomado en consideración.

La explicación a estos cambios no es fácil ni consideramos que pueda ser unilineal, pero sí parece seguro que reside en factores antrópicos -económicos, tecnológicos, etc.- que en cada momento ordenan de una u otra forma la realidad que el medio natural oferta y que en nuestra opinión, constituye el parámetro más estable de los que intervienen en este proceso.

## Bibliografía

- ALONSO DEL REAL, C.; VÁZQUEZ VARELA, J. M. (1976): «Excavaciones en el Abrigo Vidal I, en Prado do Inferno», «Excavaciones en Pena Grande», «Excavaciones en Os Penedos de O Carrizo», *Noticario Arqueológico Hispánico*, Vol. 5, pp. 53-64.
- ARIAS CABAL, P. (1991): *De cazadores a campesino. La transición al Neolítico en la Región Cantábrica*. Universidad de Cantabria, Serie Universitaria.
- ARIAS CABAL, P. (1992): «Adaptaciones al medio natural de las sociedades humanas de la Región Cantábrica durante el Boreal y el Atlántico» en Cearreta, A.; Ugarte, F. M. (Edit.): *The Late Quaternary in the Western Pyrenean Region*. Universidad del País Vasco, pp. 269-283.
- ARIAS CABAL, P.; PÉREZ SUÁREZ, C. (1990): «Investigaciones prehistóricas en la Sierra Plana de la Borbolla (1976-1986)», *Excavaciones Arqueológicas en Asturias 1983-1986*, Nº 1, pp. 140-150.
- BALDEÓN, A.; ORTIZ, L. (1984): «Asentamientos epipaleolíticos y neolíticos en la cuenca media del río Bayas (Álava)», *Arqueología Espacial*, Nº 3, pp. 7-15.
- BAGOLINI, B. (1968): «Ricerca sulle dimensioni dei manufatti litici preistorici non ritoccati», *Annali dell'Università di Ferrara* (Nuova Serie), Sezione XV, Paleontología Umana e Paleontología, Vol. I, Nº 10, pp. 195-219.
- BARANDIARÁN MAEZTU, I. (1972): *Arte Mueble del Paleolítico Cantábrico*. Monografías Arqueológicas XV, Zaragoza.
- BARANDIARÁN MAEZTU, I. (1976): «Botiquería dels Moros (Teruel). Primera fechación absoluta del complejo geométrico del Epipaleolítico mediterráneo español», *Zephyrus XXVI-XXVII*, pp. 183-186.
- BARANDIARÁN MAEZTU, I. (1978): «El abrigo de La Botiquería dels Moros. Mazaleón (Teruel). Excavaciones arqueológicas de 1974», *Cuadernos de Prehistoria y Arqueología*, pp. 49-142.
- BARANDIARÁN MAEZTU, I. (1979): «El Epipaleolítico geométrico en el Bajo Aragón», *XV Congreso Arqueológico Nacional*, pp. 125-134.
- CAVA ALMUZARA, A. (1994): «El Mesolítico en la cuenca del Ebro. Un estado de la cuestión», *Zephyrus XLVII*, pp. 65-91.
- CORCHÓN RODRÍGUEZ, M. S. (1986): *El Arte Mueble Paleolítico Cantábrico: contexto y análisis interno*. Centro de Investigación y Museo de Altamira, Monografías Nº 16.
- DEMARS, P. Y. (1985): «L'approvisionnement en matériaux lithiques au Paléolithique dans le Bassin de Brive et les déplacements de populations», *Revue Archéologique du Centre de la France*, Nº 24, Fasc. 1, pp. 9-16.
- DEMARS, P. Y. (1990): «L'économie du silex à Lauguerie-Haute (Dordogne)» en Seronie-Vivien, M. R.; Lenoir, M. (Dir.): *Le silex, de sa genèse à l'outil*. Vº Colloque International sur la silex, T. II, Cahiers du Quaternaire, Nº 17, pp. 373-383.
- DEMARS, P. Y. (1992): «L'évolution de l'approvisionnement en matière première au Magdalénien en Périgord» en Rigaud, J. PH.; Laville, M.; Vandermesch, B. (Edit.): *Le Peuplement Magdalénien. Paléographie physique et humaine*. Ed. du Comité des Travaux Historiques et Scientifiques, pp. 287-294.
- FERNÁNDEZ RODRÍGUEZ, C. (1989): *Identificación y análisis de la fauna del yacimiento paleolítico de la Cueva de A Valiña (Lugo)*. Memoria de Licenciatura. Facultad de Geografía e Historia. Universidad de Santiago. Inédita.
- FERNÁNDEZ RODRÍGUEZ, C. et alii (1993): «La Cueva de A Valiña (Castroverde, Lugo): aproximación estratigráfica, paleobotánica y paleontológica al paleolítico superior inicial en Galicia» en Fumanal, M. P.; Bernabeu, J. (Edit.): *Estudios sobre Cuaternario. Medios sedimentarios, cambios ambientales, hábitat humano*. Universitat de València y Asociación Española para el Estudio del Cuaternario, pp. 159-165.
- FERNÁNDEZ-TRESGUERRES VELASCO, J. A. (1980): *El Aziliense en las provincias de Asturias y Santander*. Centro de Investigación y Museo de Altamira, Monografías Nº 2.
- FERNÁNDEZ-TRESGUERRES VELASCO, J. A. (1983): «Visión general del Epipaleolítico Cantábrico», *Homenaje al Prof. M. Almagro Basch*, pp. 231-237.
- FERNÁNDEZ-TRESGUERRES VELASCO, J. A. (1995): «El Aziliense de la Región Cantábrica» en Moure Romanillo, A.; González Sáinz, C. (Edit.): *El final del Paleolítico Cantábrico. Transformaciones ambientales y culturales durante el Tardiglaciario y comienzos del Holoceno en la Región Cantábrica*. Universidad de Cantabria, pp. 199-224.

- FORTEA PÉREZ, J. (1973): *Los Complejos Microlaminares y Geométricos del Epipaleolítico Mediterráneo Español*. Memorias del Seminario de Prehistoria y Arqueología, Nº 4, Universidad de Salamanca.
- GONZÁLEZ MORALES, M. R. (1982): *El Asturiense y otras culturas locales. La explotación de las áreas litorales de la Región Cantábrica en los tiempos epipaleolíticos*. Centro de Investigación y Museo de Altamira, Monografías Nº 7.
- GONZÁLEZ MORALES, M. R. (1993): «Mesolíticos y megalíticos: la evidencia arqueológica de los cambios en las formas productivas en el paso al megalitismo en la Costa Cantábrica» en MOURE, J. A. (Edit.): *Elefantes, Ciervos y Ovicaprinus*. Universidad de Cantabria, pp. 185-202.
- GONZÁLEZ MORALES, M. R. (1995): «La transición al Holoceno en la Región Cantábrica: el contraste con el modelo mediterráneo español» en Villaverde Bonilla, V. (Edit.): *Los últimos cazadores. Transformaciones culturales y económicas durante el Tardiglaciario y el inicio del Holoceno en el ámbito mediterráneo*. pp. 63-78.
- GONZÁLEZ SÁINZ, C. (1989): *El Magdaleniense Superior-Final de la Región Cantábrica*. Santander.
- LAPLACE, G. (1974): «La typologie analytique et structurale. Base rationnelle d'étude des industries lithiques et osseuses», *Colloques Nationaux C.N.R.S.*, pp. 12-14.
- LEROI-GOURHAN, A. (1968): «Le petit raclor chatelperronien», *La Préhistoire. Problèmes et Tendances*, París, pp. 275-282.
- LÓPEZ-FELPETO GÓMEZ, M. A. (1990): *Informe preliminar de la intervención de urgencia realizada en A Pena de Xiboi (Guitiriz, Lugo)*. Servicio de Arqueología, Xunta de Galicia. Inédito.
- LLANA RODRÍGUEZ, C. (1989): *Ordenación de la demanda de materia prima en el Paleolítico superior de Galicia y Asturias: los materiales del grupo del cuarzo no sílex*. Memoria de Licenciatura, Facultad de Geografía e Historia, Universidad de Santiago. Inédita.
- LLANA RODRÍGUEZ, C. (1990): *El problema de la ordenación del espacio en el Paleolítico superior de Galicia y Asturias: el territorio económico*. Tesis doctoral, Universidad de Santiago. Inédita.
- LLANA RODRÍGUEZ, C. (1991): «Análisis del empleo de materias primas en Xestido III» en RAMIL SONEIRA, J. (Dir.): *El yacimiento al aire libre de Xestido III (S. Pedro de Labrada, Abadín, Lugo). Campaña de 1986*. Servicio de Arqueología, Xunta de Galicia. Inédita.
- LLANA RODRÍGUEZ, C.; LÓPEZ-FELPETO GÓMEZ, M. A. (1994): *Informe preliminar de la intervención arqueológica realizada en el yacimiento de A Pena de Xiboi*. Servicio de Arqueología, Xunta de Galicia. Inédito.
- LLANA RODRÍGUEZ, C.; SOTO BARREIRO, M. J. (1991): *Cova da Valiña (Castroverde, Lugo). Un xacemento do Paleolítico Superior Inicial en Galicia (Campañas de 1987 e 1988)*. Arqueología / investigación 5, Xunta de Galicia.
- LLANA RODRÍGUEZ, C.; VILLAR QUINTEIRO, R. (1996a): «Analyse morphostructurale des quartz et des quartzites à gros grain au Paléolithique supérieur de la Galice et des Asturies (Espagne)» en *La Vie Préhistorique*. Société Préhistorique Française, pp. 176-179.
- LLANA RODRÍGUEZ, C.; VILLAR QUINTEIRO, R. (1996): «Industry of Materials Belonging to the Quartz Non-Flint Group, in the Upper Paleolithic in Galicia and Asturias: Relationship Between Morphostructure and Technical and Typologic Characteristics» en MOLONEY, N.; RAPOSO, L.; SANTONJA, M. (Edit.): *Non-Flint Stone Tools and the Palaeolithic Occupation of the Iberian Peninsula*. B.A.R. International Series 649, pp. 43-48.
- LLANA RODRÍGUEZ, C.; VILLAR QUINTEIRO, R.; MARTÍNEZ CORTIZAS, A. (1996): «Secuencia paleoambiental y cultural de la Cueva de la Valiña (Castroverde, Lugo): una ocupación chatelperroniense en Galicia» en PÉREZ ALBERTI, A.; MARTINI, P.; CHESWORTH, W.; MARTÍNEZ, A. (Coord.): *Dinámica y evolución de medios cuaternarios*. Xunta de Galicia, pp. 97-112.
- MARTÍNEZ CORTIZAS, A. (1990): «Val do Inferno y Xestido III (Abadín, Lugo): datos edáficos aplicados», *Gallaecia*, Nº 12, pp. 65-80.
- MARTÍNEZ CORTIZAS, A. (1995): «Evolución de los suelos durante el Cuaternario reciente en las Sierras Septentrionales de Galicia (NW de España)» en PÉREZ ALBERTI, A.; MARTÍNEZ CORTIZAS, A. (Eds.): *Avances en la investigación paleoambiental en áreas de montaña*. G.E.P., Monografías 1. En prensa.
- MARTÍNEZ CORTIZAS, A.; MOARES DOMÍNGUEZ, C. (1995): *Edafología y Arqueología. Estudio de yacimientos arqueológicos al aire libre en Galicia*. Xunta de Galicia.
- MARTÍNEZ, A.; RODRÍGUEZ, M.; RAMIL, P.; MOARES, C. (1993): «Evolución morfogenética y edáfica durante el Tardiglaciario y Holoceno en las Sierras Septentrionales de Galicia», *Actas de la III Reunión do Quaternario Ibérico*. GTPEQ-AEQUA. En prensa.
- MOARES DOMÍNGUEZ, C. (1994): *Suelos de yacimientos arqueológicos al aire libre en Galicia*. Memoria de Licenciatura, Facultad de Biología, Universidad de Santiago. Inédita.

- PÉREZ RODRÍGUEZ, M. L. (1990): «Análisis de industrias elaboradas en cristal de roca en el Paleolítico superior gallego: los casos de Férvedes II y Arnela III», *IV Coloquio Galaico-Miñoto*, T. II, pág. 181.
- PÉREZ RODRÍGUEZ, M. L. (1991): «Férvedes II, un yacimiento del Paleolítico superior en Galicia», *XX Congreso Nacional de Arqueología*, pp. 269-283.
- RAMIL REGO, P. (1992): *La vegetación cuaternaria de las Sierras Septentrionales de Lugo a través del análisis polínico*. Tesis doctoral, Facultad de Farmacia, Universidad de Santiago. Inédita.
- RAMIL REGO, P. (1993a): «Evolución climática e historia de la vegetación durante el Pleistoceno superior y el Holoceno en las regiones montañosas del Noroeste Ibérico» en Pérez Alberti, A.; Guitián Rivera, R.; RAMIL REGO, P. (Edts.): *La evolución del paisaje en las montañas del entorno de los Caminos Jacobeos*. Xunta de Galicia, pp. 25-60.
- RAMIL REGO, P. (1993b): «Análisis polínico de los niveles wurmienses de la Cueva de la Valiña (Castroverde, Lugo, Galicia)», *Anales de la Asociación de Palinólogos de Lengua Española*, pp. 75-81.
- RAMIL SONEIRA, J. (1971): *El Mesolítico gallego*. Real Academia Gallega. A Coruña. Inédito.
- RAMIL SONEIRA, J. et alii (1991): *El yacimiento al aire libre de Xestido III (S. Pedro de Labrada, Abadín, Lugo). Campaña de 1986*. Servicio de Arqueología, Xunta de Galicia. Inédita.
- RAMIL SONEIRA, J. et alii (1994): «Prospección de yacimientos prehistóricos con industrias líticas en la provincia de Lugo (Galicia): primeros resultados», *III Colóquio Galaico-Miñoto*, Vol. II, pp. 613-626.
- RAMIL SONEIRA, J.; VÁZQUEZ VARELA, J. M. (1976): «Cuatro yacimientos prehistóricos con industrias líticas en la provincia de Lugo», *Gallaecia*, Nº 2, pp. 47-54.
- RAMIL SONEIRA, J.; VÁZQUEZ VARELA, J. M. (1983): «Primer hallazgo de arte mueble paleolítico en Galicia», *Ars Praehistórica*, 2, pp. 191-193.
- RASILLA VIVES, M. DE LA (1989): «Secuencia crono-estratigráfica del Solutrense Cantábrico», *Trabajos de Prehistoria*, Nº 46, pp. 35-46.
- ROCHE, J. (1958): «Quelques caractères de l'outillage du concheiro mésolithique de Moita do Sebastião (Muge)», *Arqueologia e Historia*, Vol. III, pp.
- ROCHE, J. (1966): «Balance de un siglo de excavaciones en los concheros mesolíticos de Muge», *Ampurias XXVIII*, pp. 13-48.
- ROCHE, J. (1976): «Les origines de l'industrie de l'amas coquillier de Moita do Sebastião (Muge, Portugal)», en *Les Civilisations du 8<sup>me</sup> au 5<sup>me</sup> millénaire avant notre ère en Europe: paléoenvironnement, structures d'habitat, outillages, économie*. Actas del IX Congrès U.I.S.P.P. Prétirage, pp. 161-165.
- ROCHE, J. (1977): «Les amas coquilliers mésolithiques de Muge (Portugal). Chronologie, milieu naturel et leurs incidences sur le peuplement humain» en LAVILLE, H.; RENAULT-MISKOVSKY, J. (Dir.): *Approche Écologique de l'Homme Fossile*. Bulletin de l'Association Française pour l'Étude du Quaternaire, París, pp. 353-359.
- ROCHE, J. (1980a): «Algumas observações sobre a estratigrafia das jazidas de tipo concheiro e os problemas que levantam aos escavadores», *Arqueologia*, Nº 1, pp. 3-6.
- ROCHE, J. (1980b): «Algumas características da indústria do Mesolítico Antigo do Muge (Portugal)», *Arqueologia*, Nº 2, pp. 12-18.
- ROCHE, J. (1982): «A organização do espaço numa estação mesolítica portuguesa: Moita do Sebastião, Muge», *Arqueologia*, Nº 6, pp. 4-10.
- ROCHE, J.; VEIGA FERREIRA, O. DA (1972-73): «Seconde datation par le C-14 de l'amas coquillier mésolithique de Moita do Sebastião (Muge)», *Comunicações dos Serviços Geológicos de Portugal*, T. LVI, pp. 471-474.
- SARABIA ROGINA, P. M. (1990): «L'utilisation du silex dans les industries du paléolithique de Cantabria (Espagne du Nord)» en SERONIE-VIVIEN, M. R.; LENOIR, M. (Dir.): *Le silex, de sa genèse à l'outil*. Actes du V<sup>e</sup> Colloque International sur le Silex, T. II. Cahiers du Quaternaire, Nº 17, C.N.R.S., pp. 443 - 447.
- SARABIA ROGINA, P. M. (1994): «Notas sobre el aprovechamiento de los recursos líticos en el Paleolítico superior de Cantabria» en Carrión Méndez, F.; OROZCO KÖHLER, T.; TERRADAS BATLLE, X. (Org.): *1<sup>a</sup> Reunión de Trabajo sobre Aprovisionamiento de Recursos Líticos en la Prehistoria*. Departament de Prehistòria i d'Arqueologia, Universitat de València. Dossier de Trabajo. Inédito.
- SARABIA ROGINA, P. M. (1995): «Las estrategias de aprovisionamiento de materias primas líticas en la transición del paleolítico medio-superior en Cantabria», *XXII Congreso Nacional de Arqueología*, Vol. I, pp. 357-365.
- SONNEVILLE-BORDES, D. DE; PERROT, J. (1954): «Lexique typologique du Paléolithique supérieur. I Grattoirs. II Outils solutréens», *Bulletin de la Société Préhistorique Française*, pp. 327-335.
- SONNEVILLE-BORDES, D. DE; PERROT, J. (1955): «Lexique typologique du Paléolithique supérieur. III Outils composites. Perçoirs», *Bulletin de la Société Préhistorique Française*, pp. 76-79.
- SONNEVILLE-BORDES, D. DE; PERROT, J. (1956a): «Lexique typologique du Paléolithique supérieur. Outillage

- lithique IV Burins», *Bulletin de la Société Préhistorique Française*, pp. 408-412.
- SONNEVILLE-BORDES, D. DE; PERROT, J. (1956b): «Lexique typologique du Paléolithique supérieur (suite et fin). V Outillage à bord abattu. VI Pièces tronquées. VII Lames retouchées. VIII Pièces variées. IX Outillage lamellaire-Pointe Azilienne», *Bulletin de la Société Préhistorique Française*, pp. 547-559.
- Straus, L. G. (1991): «The role of raw materials in Upper Paleolithic and Mesolithic stone artifact assemblage variability in South-West Europe» en Montet-White, A.; Holen, S. (Edit.): *Raw material economies among prehistoric hunter-gatherers*. University of Kansas. Publications in Anthropology, 19, pp. 169-185.
- UTRILLA MIRANDA, P. (1981): *El Magdaleniense inferior y medio en la Costa Cantábrica*. Centro de Investigación y Museo de Altamira, Monografías Nº 4.
- VÁZQUEZ SEJAS, M. (1965): «La Cueva de la Valiña», *Boletín de la Comisión Provincial de Monumentos de Lugo*, T. VIII (1965-1966), pp. 25-30.
- VÁZQUEZ VARELA, J. M. (1993): «Las más antiguas raíces del Arte» en RODRÍGUEZ IGLESIAS, F. (Dir.): *Galicia. Arte*. T. I, A Coruña, pp. 22-25.
- VIERRA, J. B. (1994): *Subsistence, diversification and the evolution of microlithic technologies: a study of the Portuguese Mesolithic*. U.M.I. University of New Mexico.
- VILLAR QUINTEIRO, R. (1989): *Clasificación tipológica de la industria lítica del yacimiento del Paleolítico superior inicial de la Cueva de A Valiña (Castroverde, Lugo)*. Memoria de Licenciatura, Universidad de Santiago. Inédita.